



*für Wissenschaft und Technik, für kommerzielle EDV,
für MSR-Technik, für den interessierten Hobbyisten*

In dieser Ausgabe:



Neues auf the Forth Net

Zündung mit Handverstellung

e4thcom — Terminal für 4e4th,
amforth und mecrisp

Matrix-Tastaturscanner

Atmendes LED

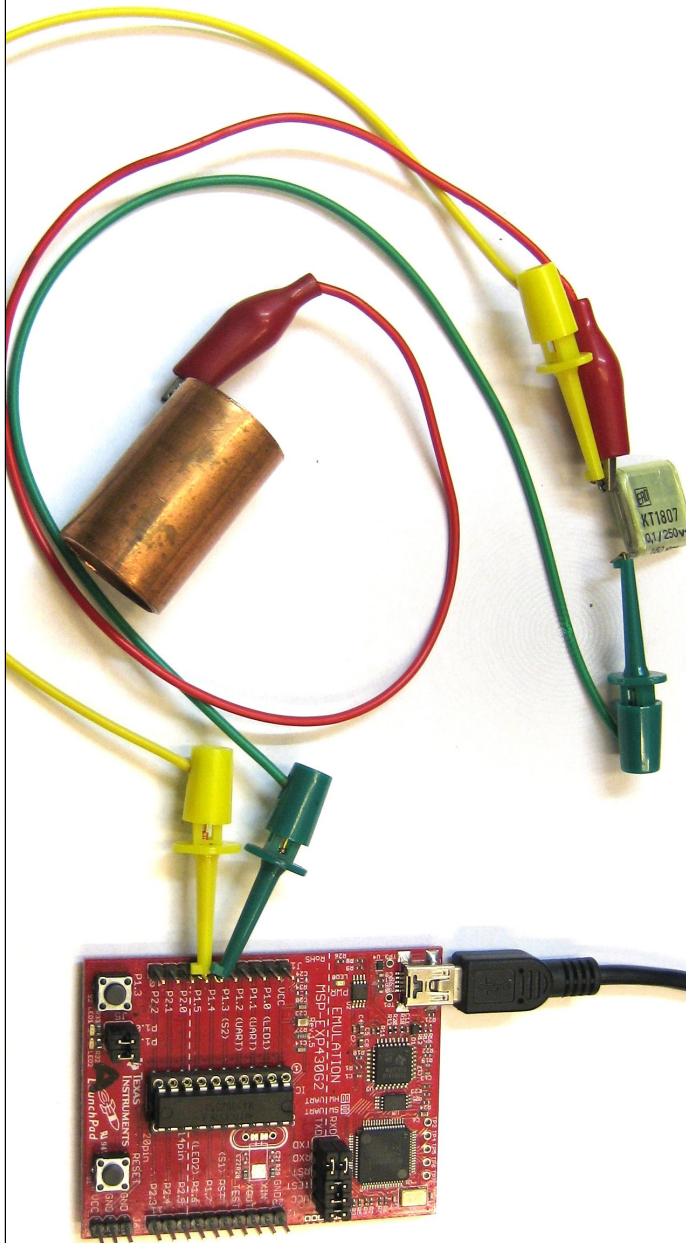
Wave Engine (8)

Kapazitätsmessung und kapazitive
Fühler

net2o — das Internet neu erfinden,
Teil 3: Signaturen

EuroForth 2013

Merry
Christmas



tematik GmbH Technische Informatik

Feldstrasse 143
D-22880 Wedel
Fon 04103 - 808989 - 0
Fax 04103 - 808989 - 9
mail@tematik.de
www.tematik.de

Gegründet 1985 als Partnerinstitut der FH-Wedel beschäftigten wir uns in den letzten Jahren vorwiegend mit Industrieelektronik und Präzisionsmeßtechnik und bauen z. Z. eine eigene Produktpalette auf.

Know-How Schwerpunkte liegen in den Bereichen Industriewaagen SWA & SWW, Differential-Dosierwaagen, DMS-Messverstärker, 68000 und 68HC11 Prozessoren, Sigma-Delta A/D. Wir programmieren in Pascal, C und Forth auf SwiftX86k und seit kurzem mit Holon11 und MPE IRTC für Amtel AVR.

LEGO RCX-Verleih

Seit unserem Gewinn (VD 1/2001 S.30) verfügt unsere Schule über so ausreichend viele RCX-Komponenten, dass ich meine privat eingebrachten Dinge nun Anderen, vorzugsweise Mitgliedern der Forth-Gesellschaft e. V., zur Verfügung stellen kann.

Angeboten wird: Ein komplettes LEGO-RCX-Set, so wie es für ca. 230,-€ im Handel zu erwerben ist.

Inhalt:

1 RCX, 1 Sendeturm, 2 Motoren, 4 Sensoren und ca. 1.000 LEGO Steine.

Anfragen bitte an
Martin.Bitter@t-online.de

Letztlich enthält das Ganze auch nicht mehr als einen Mikrocontroller der Familie H8/300 von Hitachi, ein paar Treiber und etwas Peripherie. Zudem: dieses Teil ist „narrensicher“!

RetroForth

Linux · Windows · Native
Generic · L4Ka::Pistachio · Dex4u
Public Domain
<http://www.retroforth.org>
<http://retro.tunes.org>

Diese Anzeige wird gesponsort von:
EDV-Beratung Schmiedl, Am Bräuweiher 4, 93499 Zandt

Hier könnte Ihre Anzeige stehen!

Wenn Sie ein Förderer der Forth-Gesellschaft e.V. sind oder werden möchten, sprechen Sie mit dem Forth-Büro über die Konditionen einer festen Anzeige.

Secretary@forth-ev.de

KIMA Echtzeitsysteme GmbH

Tel.: 02461/690-380
Fax: 02461/690-387 oder -100
Karl-Heinz-Beckurts-Str. 13
52428 Jülich

Automatisierungstechnik: Fortgeschrittene Steuerungen für die Verfahrenstechnik, Schaltanlagenbau, Projektierung, Sensorik, Maschinenüberwachungen. Echtzeitrechnersysteme: für Werkzeug- und Sondermaschinen, Fuzzy Logic.

FORTECH Software GmbH

Entwicklungsbüro Dr.-Ing. Egmont Woitzel

Bergstraße 10 D-18057 Rostock
Tel.: +49 381 496800-0 Fax: +49 381 496800-29

PC-basierte Forth-Entwicklungswerkzeuge, comFORTH für Windows und eingebettete und verteilte Systeme. Softwareentwicklung für Windows und Mikrocontroller mit Forth, C/C++, Delphi und Basic. Entwicklung von Gerätetreibern und Kommunikationssoftware für Windows 3.1, Windows95 und WindowsNT. Beratung zu Software-/Systementwurf. Mehr als 15 Jahre Erfahrung.

Hier könnte Ihre Anzeige stehen!

Wenn Sie ein Förderer der Forth-Gesellschaft e.V. sind oder werden möchten, sprechen Sie mit dem Forth-Büro über die Konditionen einer festen Anzeige.

Secretary@forth-ev.de

Ingenieurbüro

Klaus Kohl-Schöpe

Tel.: (0 82 66)-36 09 862
Prof.-Hamp-Str. 5
D-87745 Eppishausen

FORTH-Software (volksFORTH, KKFORTH und viele PDVersionen). FORTH-Hardware (z.B. Super8) und Literaturservice. Professionelle Entwicklung für Steuerungs- und Meßtechnik.

Leserbriefe und Meldungen	5
Neues auf the Forth Net	6
<i>Gerald Wodni</i>	
Zündung mit Handverstellung	7
<i>Karsten Roederer</i>	
e4thcom — Terminal für 4e4th, amforth und mecrisp	15
<i>Manfred Mahlow</i>	
Matrix-Tastaturscanner	18
<i>Rafael Deliano</i>	
Atmendes LED	21
<i>M. Kalus</i>	
Wave Engine (8)	26
<i>Hannes Teich</i>	
Kapazitätsmessung und kapazitive Fühler	28
<i>Matthias Koch</i>	
net2o — das Internet neu erfinden, Teil 3: Signaturen	31
<i>Bernd Paysan</i>	
EuroForth 2013	34
<i>Bernd Paysan</i>	



Impressum

Name der Zeitschrift
Vierte Dimension

Herausgeberin

Forth-Gesellschaft e. V.
Postfach 32 01 24
68273 Mannheim
Tel: ++49(0)6239 9201-85, Fax: -86
E-Mail: Secretary@forth-ev.de
Direktorium@forth-ev.de
Bankverbindung: Postbank Hamburg
BLZ 200 100 20
Kto 563 211 208
IBAN: DE60 2001 0020 0563 2112 08
BIC: PBNKDEFF

Redaktion & Layout

Bernd Paysan, Ulrich Hoffmann
E-Mail: 4d@forth-ev.de

Anzeigenverwaltung

Büro der Herausgeberin

Redaktionsschluss

Januar, April, Juli, Oktober jeweils
in der dritten Woche

Erscheinungsweise

1 Ausgabe / Quartal

Einzelpreis

4,00€ + Porto u. Verpackung

Manuskripte und Rechte

Berücksichtigt werden alle eingesandten Manuskripte. Leserbriefe können ohne Rücksprache wiedergegeben werden. Für die mit dem Namen des Verfassers gekennzeichneten Beiträge übernimmt die Redaktion lediglich die presserechtliche Verantwortung. Die in diesem Magazin veröffentlichten Beiträge sind urheberrechtlich geschützt. Übersetzung, Vervielfältigung, sowie Speicherung auf beliebigen Medien, ganz oder auszugsweise nur mit genauer Quellenangabe erlaubt. Die eingereichten Beiträge müssen frei von Ansprüchen Dritter sein. Veröffentlichte Programme gehen — soweit nichts anderes vermerkt ist — in die Public Domain über. Für Text, Schaltbilder oder Aufbauskiizen, die zum Nichtfunktionieren oder eventuellem Schadhafwerden von Bauelementen führen, kann keine Haftung übernommen werden. Sämtliche Veröffentlichungen erfolgen ohne Berücksichtigung eines eventuellen Patentschutzes. Warennamen werden ohne Gewährleistung einer freien Verwendung benutzt.

Liebe Leser,

Es wintert schon, und der letzte Artikel aus dem Sommerheft kommt so etwas spät zum Zug:

Die Zeiten, in denen man sein Mofa getuned hat, sind heute fast schon vorbei — Fahrräder mit Motorunterstützung sind heute elektrisch und werden besonders gerne von Rentnern gekauft. Tunen ist verboten (also, sagen wir mal: Rentner halten sich da eher daran als Jugendliche), und außerdem braucht man dazu heute Microcontroller-Knowhow. Wobei: Mit diesem Know-How kann man auch ein altes Mofa tunen, wie Karsten Roederer eindrucksvoll demonstriert. Wobei er doch nicht ganz ohne E-Bike-Komponenten auskommt. . .

Auch sonst kommen die Controller in diesem Heft nicht zu kurz: Ein Terminal für 4e4th, ein Matrix-Tastaturscanner, ein atmendes LED (mit MSP 430 und viel Debugging) und eine Kapazitätsmessung (ebenfalls mit dem MSP 430) füllen das Heft.

Johannes Teich debuggt, ganz ohne Controller, seine Wave Engine am PC. Jetzt klingt sie richtig sauber, nachdem sich der Versatz um ein Byte verflüchtigt hat.

Ja, und damit sich unsere Ideen nicht völlig verflüchtigen, sondern zumindest in der Cloud bleiben, fängt Gerald Wodni mit der Rubrik „Neues aus the Forth Net“ an. Da die Domain forth.net leider (noch?) der Foundation Of Research and Technology Hellas gehört (die übrigens auch 30 Jahre alt ist), heißt Gerald's soziales Forth-Netzwerk theforth.net, und dient dem Sharen von Code.

Ach ja, und die Lösung des Drachenrätsels vom letzten Mal: Der Drache ist in Stein am Rhein. Da bin ich jetzt nicht extra hingefahren, um ein Beweisfoto zu machen, dafür gibt's eine URL mit hübschen Fotos: <http://dantesdame.com/temp/stein-am-rhein/>

Und weil's Drachen auf der ganzen Welt gibt. . . : Wo swappen diese beiden Drachen ihre Drachenpille?
— Bernd Paysan



Die Quelltexte in der VD müssen Sie nicht abtippen. Sie können sie auch von der Web-Seite des Vereins herunterladen.

<http://fossil.forth-ev.de/vd-2013-04>

Die Forth-Gesellschaft e. V. wird durch ihr Direktorium vertreten:

Ulrich Hoffmann Kontakt: Direktorium@Forth-ev.de
Bernd Paysan
Ewald Rieger

Äpfel, Birnen, Pflaumen, Zwetschgen, Kirschen, Nüsse — und Forth.

Nun, die Brücke über den Forth in Schottland unweit Edinburgh kennt jeder Forthler, also die Menschen, die sich mit der Programmiersprache Forth befassen, ja schon. Dass sich das ganze Gebiet um den Flusslauf herum inzwischen als *Forth Area* versteht, war mir hingegen noch nicht so bekannt. So wie der Begriff *Ruhrgebiet* mit dem industriellen Zusammenschluss der Region entstand, und heute ein zusammenhängendes ökonomisches und ökologisches Gebiet ist, so wird die Forth Area inzwischen ebenfalls als zusammenhängende Region wahrgenommen. Die Initiative *Forth Environment Link (FEL)* macht das deutlich. Sie machen interessante Projekte: So die Zero Waste Communities Initiative (Null-Müll-Initiative) und das Stirling Cycle Hub (Stirling-Rad-Zentrum). Anregende Lektüre wünscht mk. <http://www.forthenvironmentlink.org/>



Zweikanaloszilloskop in Forth *Mecrisp-Stellaris*

Es ist viel geschehen seit der Ankündigung von *Mecrisp* für MSP430! Nachdem mir Michael Kalus ein TI *Stellaris*-Launchpad geschenkt hat, ist *Mecrisp-Stellaris* für die ARM Cortex-M-Familie entstanden, welches mittlerweile auf Chips von TI, STM und Freescale läuft. Wer bereits *Mecrisp* auf dem „kleinen“ Launchpad ausprobiert hat, wird sich so auch in der ARM-Welt schnell heimisch fühlen können. Für einen ersten Einstieg ist das *Stellaris*-Launchpad von TI sehr empfehlenswert, welches eine ausgewogene Mischung von Fähigkeiten und Komplexität besitzt — eins der Beispiele implementiert die Basis für ein Zweikanaloszilloskop mit je 1 MHz Abtastrate direkt in Forth. Wer gerne Arduino-Erweiterungen anschließen möchte und mit weniger Speicher und Rechenleistung auskommt, für den wird die Freescale Freedom FRDM-KL25Z Platine unterstützt, die dafür im Gegensatz zum *Stellaris*-Launchpad einen analogen Ausgang bietet und für dessen kleinen M0-Prozessorkern ein Disassembler zur Verfügung steht. Ganz viel Rechenleistung, sehr viel Speicher und analoge Fähigkeiten vom Feinsten sind auf dem STM32F4 Discovery versammelt — diese Platine ist allerdings auf

Grund ihrer erheblichen Komplexität und verwirrender Funktionenfülle nur für Fortgeschrittene zu empfehlen. Weitere werden bald folgen, *Mecrisp-Stellaris* kann bereits jetzt für M0, M3 und M4-Kerne assembliert werden und eine Portieranleitung liegt bei. Viele Ideen, die auf dem MSP430 sehr erfolgreich gewesen sind, wurden übernommen — und so steht der gewohnt komfortable Umgang mit Flashspeicher sowie die kleinen Feinheiten im Hintergrund wie Konstantenfaltung und direkte Übersetzung in Maschinensprache nun auch für ARM Cortex-Chips zur Verfügung. Helferinnen und Helfer sind gern gesehen — insbesondere die Fülle an Möglichkeiten auf den schon jetzt unterstützten Chips bedarf noch vieler weiterer Forth-Beispiele.

— Matthias Koch

<http://mecrisp.sourceforge.net/>

Mecrisp is an implementation of a standalone native code Forth for MSP430 microcontroller chips. . . *Mecrisp-Stellaris* is the younger sister of *Mecrisp* and mastered the jump to the ARM Cortex M architecture. . .

SVFIG Meeting Notes vom Forth Day

Unscheinbar auf der Homepage, aber gehaltvoll, sind die Notizen zu den Treffen der *Silicon Valley Forth Interest Group*. Die Gruppe trifft sich nach wie vor fast monatlich, und die Meeting Notes werden seit 1999 geführt. Einmal jährlich ist Forth Day. Am 16.11.2013 kamen 36 Teilnehmer dahin. Die Themen waren:



Implementing APL concepts in Forth — Bob Armstrong
 Cortex-M4 SwiftX — Leon Wagner
 Break & The LED Cube — CH Ting
 64-bit Standalone Forth System — Stefan Mauerhofer (from Switzerland)
 Simple Scalable Fonts in Forth — Brad Nelson
 The Flight of the Kestrel II — Samuel A. Falvo II
 Green Arrays — Multiple Presenters
 Intro: The State of Green Arrays — Greg Bailey
 Low Frequency Clock and UART — Stefan Mauerhofer
 Roots and Other Memories — John Rible
 XXth Century Arithmetic (1900)
 Synthesis-Aided Compiler — Mangpo Phitchaya Phothimthana
 Building Boot Streams — Charlie Shattuck
 Fireside Chat — Chuck Moore

<http://www.forth.org/svfig/kk/11-2013.html>

<http://www.forth.org/svfig/index.html>

Gruppenfoto siehe Seite 30.

mk

Neues auf the Forth Net

Gerald Wodni

Viele bekannte Programmiersprachen haben ein großes Portal zum Sourcecodetausch, JavaScript hat [npm], PHP hat [PEAR], TeX hat [CPAN].

the Forth Net[tFN] ist der Versuch, so etwas für Forth zu erschaffen.

Der Code muss weder schön sein, noch einem Standard gerecht werden, und er braucht nicht einmal zu compilieren! Es ist schon toll, wenn ein Suchender eine Idee bekommt, wie man ein Problem löst, oder einfach nur Spaß daran hat, durch alten Code zu stöbern, und sich anzusehen, wie man ein Problem in „den guten alten Zeiten“ angegangen ist.

Manche Projekte lassen sich aber ganz leicht auf aktuellen Forth-Systemen nutzen, und um auch hier an den Erfolg anderer Programmiersprachenwebsites anzuknüpfen, gibt es unser Pendant zu npm, und zwar [fget].

`fget <name>` lädt zum Beispiel das Projekt herunter, und installiert es auf dem Rechner lokal in einen eigenen Ordner.

`frun <name>` lädt das Paket nur in den Zwischenspeicher, und führt es gleich aus.

`finfo <name>` zeigt Informationen zu einem Projekt an.

`fsearch <name>` rundet das Angebot ab, und erlaubt dem Benutzer, direkt aus Forth heraus Projekte zu suchen, man braucht also nicht einmal einen Webbrowser, sondern kann auch alles von Forth aus machen.

fget funktioniert im Moment nur unter Gforth, aber das kann man leicht ändern, ich freue mich über jeden Vorschlag.

Bernd Paysan hat Gforth auf Android portiert, aber nicht jeder Nutzer möchte auf seinem Handy programmieren, sondern vielleicht einfach ein kleines Forth-Programm oder -Spiel darauf ausführen. Um dies zu erleichtern, haben wir auf der EuroForth 2013 damit begonnen, so etwas wie einen App Store zu implementieren. Die Idee ist, dass man ein Programm auf the Forth Net online stellt, als App markiert, und diese dann ganz einfach in Gforth auf dem Handy suchen und herunterladen kann.

Wer also neugierig geworden ist, der kann gleich einmal darin herumstöbern, oder besser: seinen eigenen Code hochladen (ganz egal was).

Dieser Artikel soll die Kolumne „Neues auf the Forth Net“ starten, in der ich neue Projekte vorstellen möchte. Den Anfang machen die folgenden drei:

volksFORTH [vF] Manager: Carsten Strotmann

Ein 16-Bit-Forth-System entwickelt von der Forth-Gesellschaft e.V. von 1985–1989 und 2005 wiederbelebt. Carsten hat gleich 3 Versionen davon online gestellt:

- Atari ST
- CP/M
- MS-DOS

Ich bin leider zu jung, um diese Versionen auf ihren Originalsystemen in Aktion gesehen zu haben, dennoch war es interessant zu sehen, wie das System aufgeteilt, und wie der Editor programmiert ist. Außerdem habe ich gemerkt, dass es schön wäre, die Screens direkt im Browser korrekt darstellen zu können, um das Stöbern einfacher zu machen.

miniterm[mt] Manager: Carsten Strotmann

Kleines Beispiel zur Implementation eines Fileinterfaces über die serielle Schnittstelle von Klaus Kohl.

Die Schnittstellenbefehle stammen aus dem PC-volksFORTH 3.81 von Klaus Schleisiek. Sie wurden weitgehend unverändert übernommen, sind aber auf 4KByte-Puffer erweitert.

Euler 303 [e303] Manager: Anton Ertl

Project Euler <http://projecteuler.net/> ist eine Website die interessante mathematisch-informatische Probleme beherbergt. Jedes Problem ist mit einer Nummer versehen, und man sieht, wie viele Leute es schon gelöst haben. Hier ist das Problem 303 „Multiples with small digits“ in wenigen Zeilen mit Forth gelöst.

Bis zur nächsten Ausgabe, may the Forth Net be with you!

Referenzen

[tFN] <http://theforth.net/>

[fget] <http://theforth.net/projects/fget>

[vF] <http://theforth.net/projects/VolksForthAtariST>

[mt] <http://theforth.net/projects/miniterm>

[e303] <http://theforth.net/projects/euler303>

[npm] <https://npmjs.org/>

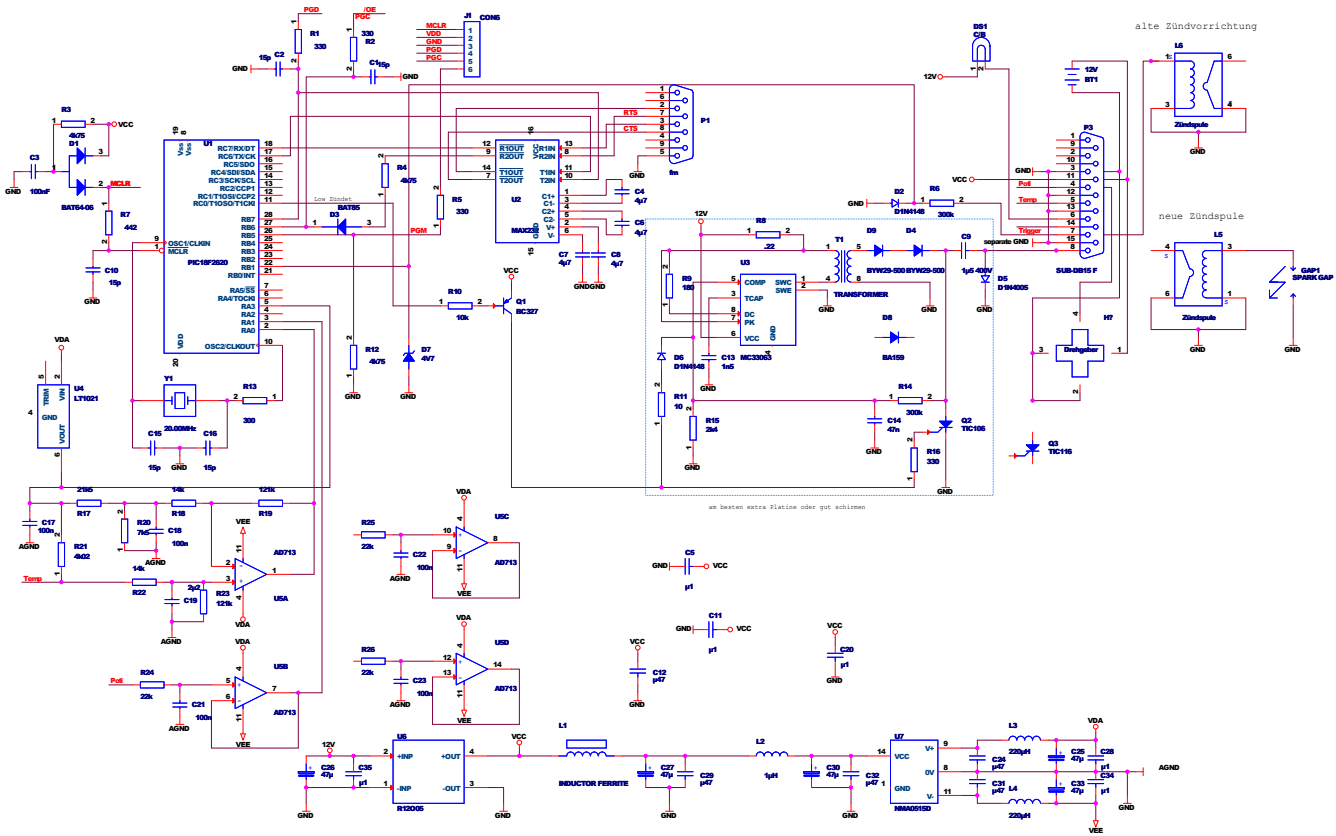
[PEAR] <http://pear.php.net/>

[CPAN] <http://www.cpan.org/>

Zündung mit Handverstellung

Karsten Roederer

Nach einigen Umbauten an der Zündanlage meines Bromfietses — ein Leichtmofa (Saxonette von Hercules mit 30 ccm Motor) — und dreifachem Ersatz der Zündspule (stücke 120,—€), reift eine alternative Zündanlage unter Einsatz eines PIC μ C in meinem Keller und bringt meine Betriebserlaubnis zum Erlöschen. Theoretisch sollten statt der 0,7 PS bis zu 9 PS möglich sein, ohne dass ein Kompressor zum Einsatz käme.



Feature

Diese Zündanlage kann in allen Ottomotoren eingesetzt werden. 4 OPVs sind für analoge Signalverarbeitung vorgesehen (Herr Aliasing lässt grüßen), an denen solche Scherze, wie Unterdruckversteller, Temperatur oder Ansaugunterdruck (Lastsensor) angeschlossen werden können. Das kommt für mich erst mal nicht in Frage, da das Bromfiets derlei Schnickschnack nicht unterstützt. Aus Unkenntnis habe ich mich für die manuelle Zündverstellung entschlossen und dafür einen E-Bike Gasgriff vorgesehen, der mit einem Hall-Element standardmäßig ausgerüstet ist. Der hat also einen Spannungsversorgungseingang und einen Spannungsausgang der so ca. 1 — 3 V (#100 - #900 sagt der A/D-Wandler im PIC), je nach Drehwinkel des Griffs liefert. Den gemessenen Spannungsbereich habe ich mir in der Software in 4 Teile gesplittet (so wie sie aus den A/D-Registern kommen):

1. < #200 alten Zünd-Winkel beibehalten
2. #200 bis < #400 erhöhe den Frühwinkel um 1°
3. #400 bis < #700 erniedrige den Frühwinkel um 1°

4. > #700 reset auf default-Winkel

Das Bromfiets arbeitet mit einer Kondensator-Zündanlage (CDI), wie sie sogar in den Sternmotoren für Flugzeuge vorgeschrieben sind, und die gelten eigentlich als unverwüthlich. Das Bromfiets bildet da eine unrühmliche Ausnahme, da es im Sommer (hoffentlich kommt er endlich mal) für die Spulen (3-4 Wicklungen, um genauer zu sein) wohl zu heiß wird in dem kaum belüfteten Einbauraum.

Für den „Nordpuls“ (in diesem Falle 17° vor OT mit der abfallenden Flanke) muss die alte Zündspule weiterverwendet werden. Für einen anderen Nordpuls-Geber muss ev. der Eingangswiderstand erniedrigt und seine Gradzahl vor OT in der Software (ist da eine Konstante) eingetragen werden.

Von der Spannungsgenerierung (ca. 160V) befreit, muss nun die Hochspannung aus einer anderen Energiequelle, sprich Batterie (hier 12V) transformiert werden. Dazu griff ich erst einmal zu einer Nähmaschine, die einen Unterfaden wickeln kann. Verwendet wurde ein Ferritspulenkörper von Konrad #: 51 66 43-88



Zündung mit Handverstellung

Pri: 25 Umdrehungen mit 0,5mm Kupferlackdraht

Sec: 160 Umdrehungen mit 0,15mm Kupferlackdraht

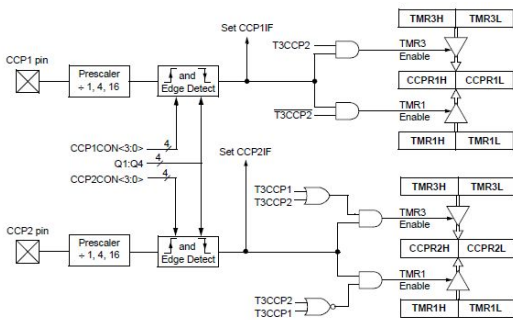
Die beiden Ferritelemente sollten mit einem Stück Papier getrennt sein. Dazu ein Spannungswandler-Kontroller in Form eines MC33063 und ein bisschen Diskretes. Das hatte ich als erstes aufgebaut und getestet. Ergebnis: lief.

PIC ⇒ FlashForth

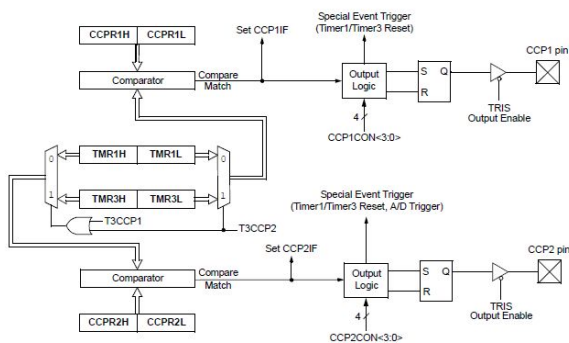
Ein PIC µC mit der Bezeichnung PIC18F2620 wurde mit dem FlashForth von Mikael Nordmann versehen — erst die Version 3.6, dann 3.8, jetzt wieder 3.6 — und die einzelnen Themen programmiert. In der Schaltung ist eine ICSP-Schaltung (In Circuit Seriell Programming) vorgesehen, falls eine Platine mit aufgelötetem Controller zum Einsatz kommt.

Arbeiten mit dem PIC

Der PIC ist mit Capture/Compare

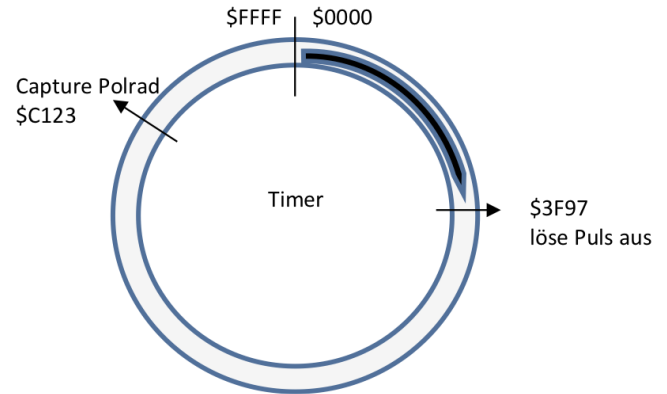


und PWM:



ausgerüstet. Dabei ist es für diese Anwendung wichtig, dass der Timer1 immer durchläuft. So treten quasi keine Echtzeitprobleme in der Software auf. Das Capture-Register captured, wenn der Nordpuls kommt, und wann PWM auslöst, kann ich mir fast eine Runde (Kurbelwellenumdrehung) lang überlegen. Ich hoffe niemand hat ein Problem damit, wenn ich jetzt erst die Berechnung für den nächsten Puls vornehme. Es soll ja Leute geben, die bauen das Polrad um, um genügend Vorlauf für die Software zu bekommen. Um sozusagen, dicht am Geschehen, in derselben Kurbelumdrehung auf ev. Geschwindigkeitsänderungen der Kurbelwelle noch zu reagieren.

Erst beim Finish der Programmierung des PIC fiel mir auf, wie immens wichtig es für diese Applikation ist, dass das Capture- wie auch das PWM-Register unabhängig voneinander von ein und demselben Timer bedient werden, der dabei nicht unterbrochen wird in seinem Tun und durchläuft:



So könnte die Situation z. B. aussehen bei einem Überlauf des Timers, der dann zu berücksichtigen ist.

Software

Kommen wir zur Programmierung des Themas. Das FF bietet Interrupt-Programmierung und Bit-Manipulationen auf Forth-, wie auch auf Assemblerebene.

Konstant oder variabel

Hier ein paar Konstanten und Variablen, die von der CPU-Clock (Damit zählt ja der Timer) unabhängig sind.

```
1 tmr0ie intcon mclr \ disable the tmr0 irq to prevent crash
2
3 \ false di to irq ei \ zero the interrupt vector
4 -zuendung
5 marker -zuendung
6 decimal ram
7 #2280 constant idling \ engine idling
8 #3750 constant maxrpm20 \ max rpm at 20 km/h
9 #0017 constant tdcorrector \ 17° trigger before top dead center
10 #0030 constant maxdegree \ 30° max pre-ignition
11 #32 constant prescale \ fit with ticon !
12 #04 constant cnts \ cnts for hand-throttlet stay time
13 variable channel
14 variable allad \ all sampels in the array discarded
15 variable igcountdown \ ignition count down is set
16 variable period \ actual rotation speed (pri)
17 variable onedegree \ counts for 1° by actual rotation speed
18 1 onedegree !
19 variable degrees \ degrees through pre-ignitioner
20 1 degrees !
21 variable resigrad \ cnts for reset to 1°
22 variable tunichts \ cnts for doing nothing more
23 variable frueher \ cnts for pre-ignition
24 variable spaeter \ cnts for retarded-ignition
25 maxdegree tdcorrector -
26 constant maxdegreer
27
28 Dann fehlt dem FF noch das case? zum Decoding:
29 : ?exit ( F1 -- )
30 postpone if
31 postpone exit
32 postpone then ; immediate
33
34 : case? over = dup invert ?exit nip ;
```


Initialisierung

Die ev. überflüssige ADC-Initialisierung für eine Interrupt gesteuerte unabhängige Sempel-Sammelei. Im Forth-Vordergrund wird nur noch geschaut, ob wieder neue Werte vorliegen. Man beachte, wie das FF auf inline-Assembler umschaltet. Mit [geht's in den Assembler, der mit] wieder abgeschlossen wird. Wegen der Bedeutung der Bits und Befehle will ich nur auf das PIC-Datenbuch (Microchip, 2008) verweisen. Die Sequenz adgo weiter unten z.B. soll das bit1 im adcon0-Register setzen (bsf), was die A/D-Sampelei in Gang setzt.

```

35 : array create cells allot does> swap 2* + ;
36 ram #10 array sampel
37
38 : adgo [ adcon0 1 a, bsf, ] ; \ A/D go
39 : cmpgo [ pie1 2 a, bsf, ] ; \ enable CCP1IE interrupt
40
41 \ ADC-Initialisierung
42
43 : adinit ( -- )
44 [ porta a, clrf, ]
45 [ lata a, clrf, ]
46 %11010010 adcon2 c!
47 \ right justified 32 Tosc 4TAD for 20 MHz; for 8 also ok
48 %11000101 adcon1 c! \ set AN0-AN9 as A/D pins
49 %00111111 trisa c! \ AN0 - AN5 input (future use)
50 [ trisb 2 a, bsf, ] \ AN8 input
51 [ trisb 3 a, bsf, ] \ AN9 input
52 [ trisb 4 a, bsf, ] \ RB4 output for test use
53 [ trisc 1 a, bsf, ] \ CCP2 inp, 17° Trigger falling edge
54 [ trisc 2 a, bsf, ] \ zuendpuls
55 [ adcon0 0 a, bsf, ] \ A/D on
56 [ pir1 6 a, bsf, ] \ clear A/D interrupt
57 ccplifm intcon mtst drop
58 0 allad !
59 0 channel !
60 ;

```

Die Timer-Initialisierung sieht so aus:

```

61 \ Timer-Initialisierung
62
63 : timerinit
64 [ t3con 7 a, bsf, ] \ 16-bit operation
65 [ t3con 6 a, bsf, ] \ timer 1 is clock source for ccp1+2
66 [ t3con 3 a, bsf, ]
67 %11111001 ccp1con c! \ compare and falling edge of ccp1 pin
68 %11110100 ccp2con c!
69 \ capture every falling edge of ccp2 pin
70 [ ccpr2l a, clrf, ] \ clear capture2 data low reg
71 [ ccpr2h a, clrf, ] \ clear capture2 data high reg
72 %10110101 t1con c! \ Timer1Konfig :8 prescaler
73 [ tmr1l a, clrf, ] \ clear Timerreg
74 [ tmr1h a, clrf, ] \ clear Timerreg
75 ;

```

Interrupt

Die Interrupt-Routine ist nun das Filet-Stück der Anwendung, da hier schon alle Echtzeit-Probleme erschlagen werden. Sie beginnt mit einem „i“. Das heißt nichts anderes, als dass der Code, der jetzt folgt, an Adresse \$0008 (der sogenannte Interrupt-Vektor) abgelegt wird. Abgeschlossen wird mit der Sequence „i“, „i“. Der 18er-PIC kommt zwar auch mit einem „low priority interrupt vector“ an Adresse \$0018 daher, den ich aber noch nicht verwendet habe. So eine Art priorisiertes Multitasking auf Interrupt-Ebene (zzzzhh..). Dabei priorisiere ich doch schon durch die Reihenfolge der Interrupt-Flag-Abfrage!? Der Code wird dadurch doch nur undurchschaubarer. War wohl ein Bug im Gehirn des Designers, der jetzt als Feature verkauft wird.

```

76 : irqserv ( -- ) \ interrupt service routine
77 [i
78 ccplifm pir1 mtst \ is it ccplif?
79 if [ pir1 2 a, bsf, ] \ clear ccplif
80 [ ccplcon 0 a, bsf, ] \ make him high
81 hopefully
82 then
83 ccp2ifm 1 pir2 mtst \ 17° Trigger
84 if [ pir2 0 a, bsf, ] \ clear ccp2if
85 [ portb 4 a, bsf, ] \ set for test RB4
86 ccpr2h c@ 8 lshift ccpr2l c@ +
87 dup dup \ messe Periode
88 capt3 @ dup rot >
89 if swap invert 1+ + period !
90 else - period ! then \ war Überlauf
91 capt3 ! \ store new capture
92 period @ dup 360 / dup onedegree ! degrees @ * -
93 \ new igtcomptime
94 capt3 @ + dup $ff00 and 8 rshift ccpr1h c!
95 \ new compare high
96 $ff and ccpr1l c! \ new compare low
97 [ portb 4 a, bsf, ] -1 igcountdown ! \ clear
98 for foreground routine
99
100 then
101 adifm pir1 mtst \ is it the ADC-Interrupt?
102 if
103 adresh c@ 8 lshift adresl c@ +
104 channel @ sampel ! \ store sample
105 adifm pir1 mclr
106 channel @ 1+ dup channel ! \ increment
107 A/D-Channel
108 dup
109 1 > if drop 0 dup channel ! -1 allad ! then
110 \ only channel 8 & 9
111 $8 + 2 lshift \ here only channel 8 & 9
112 adcon0 c@ $c1 and or adcon0 c!
113 [ adcon0 1 a, bsf, ] \ go
114 then
115 i]
116 ;i

```

Da die Interrupts noch disabled sind, passiert jetzt noch nichts, außer dass der Code da jetzt steht, der dann zur Ausführung kommt. Die Interrupts können erst zuschlagen, wenn sie enabled sind.

Foreground

Der Vordergrund beschäftigt sich mit den Dingen, die immer noch über die serielle Schnittstelle kommen können, und wertet das im Interrupt Geleistete aus. So steht an erster Stelle natürlich die Auswertung der vom ADC kommenden Signale an. Die Werte des handelsüblichen E-Bike-Gasgriffs stehen zur Auswertung an. In einer Schleife die zur Zeit mit einem \$4000 for next beginnt, da der ms-Timer nicht mehr tut, werden die mit dem jetzt am Lenker links befestigten Griff erzeugten Werte angeschaut und dekodiert. Wird nicht dran gedreht, bleibt der status quo. Ein bisschen drehen erhöht in jeder Schleife um ein Grad. Ein bisschen mehr erniedrigt um ein Grad. Vollgas stellt zurück auf default. Dabei werden die Werte erst verstellt, wenn der betreffende Bereich cnts mal (hier jetzt 4) anstand, da es ja unvermeidlich beim Einstellen zu Überstreichungen nicht gewollter Bereiche kommt.

```

116 : start0 ( -- )
117 timerinit
118 cr ." tmroif" cr
119 adinit
120 [ pir2 0 a, bsf, ] \ clear CCP2IF interrupt
121 [ pir1 2 a, bsf, ] \ clear CCP1IF interrupt
122 \ [ pie2 0 a, bsf, ] \ enable CCP2IE interrupt
123 \ führt zu Absturz
124 [?] irqserv di is irq ei ." EI" cr / Interrupt läuft
125 tmr0ifm intcon mclr
126 tmr3ifm pir2 mclr
127 adgo

```



```

128 \ cmpgo Absturz
129   cr ." G0" \ jetzt läuft die A/D-Wandelei
130   ;
131
132 : under ( n1 n2 -- n2 n1 n2 ) swap over ;
133
134 : m/mod ( d n -- rem quot )
135 dup >r abs over 0<
136 if under + swap then um/mod r@ 0<
137   if negate over if swap r@ + swap 1- then then rdrop ;
138
139 : cp ( -- n ) \ compare @ for test
140   ccpr1h c@ 8 lshift ccpr1l c@ + ;
141
142 : cntreset ( -- ) \ resets the hand-throttlet
143   0 tunichts ! 0 frueher ! 0 spaeter ! 0 res1grad ! ;
144
145 : decode ( -- )
146   1 sampel @ dup .
147   dup #200 < true case? if tunichts @ 1+ dup
148     cnts > if
149       drop cntreset
150     else tunichts ! then
151       drop exit then drop
152   dup #400 < true case? if frueher @ 1+ dup
153     cnts > if
154       drop cntreset 1 degrees +!
155     else frueher ! then
156       drop exit then drop
157   dup #700 < true case? if spaeter @ 1+ dup
158     cnts > if
159       drop cntreset -1 degrees +!
160     else spaeter ! then
161       drop exit then drop
162   drop res1grad @ 1+ dup
163   cnts > if drop cntreset 1 degrees !
164   else res1grad ! then
165 ;
166
167 : start ( -- )
168   cwd start0
169   begin
170     $4000 for next \ ms funktioniert nicht mehr
171     allad @
172     if decode 0 allad ! then \ so wait for new ADC-inputs
173   cr
174     period @ u.
175     capt3 @ u.
176     key?
177     until
178     cp u. ;
179
180 : tit ( -- n ) \ timer @ for test use
181   tmr1h c@ 8 lshift tmr1l c@ + ;

```

Ein paar auskommentierte Zeilen sind im Code noch enthalten, da sie an der Stelle zwar logisch hingehören, aber bei der Ausführung zum Absturz führten. Das gibt einen Aufschluss über die Ungereimtheiten, die einen beim Test so erwarten. Die Textausgaben bei start0 dienen zum Debuggen und geben Aufschluss darüber, bis wohin der Hase gelaufen ist. `cwd` clear den Watchdog im PIC. `allad` dient dazu sicherzustellen, dass neue ADC-Werte vorliegen, wenn gesetzt. Das Ganze habe ich dann mit einem Frequenzgenerator getestet. Ergebnis: lief.

Ein Zusammenschalten beider Schaltungsteile offenbarte jedoch erheblich Abschirmmängel der Hochspannungserzeugung, der insbesondere stark in den Analogteil einstreute, sodass dieser Teil jetzt eines Neuaufbaus harret. Das und einen Erfahrungsbericht werde ich dann nachreichen, sobald ich damit durch bin.

FF 3.8 ?

Mit dem FF 3.8 hatte ich in einer anderen Anwendung auch schon Erfahrungen sammeln dürfen. Es stürzte mir aber leider ab einer gewissen, ich will mal sagen: Returnstack-Komplexität schon beim Kompilieren ab,

sodass ich lieber auf die ältere Version 3.6 zurückgegangen bin. Die stürzt beim Kompilieren zwar auch manchmal ab, aber spätestens beim 2. Versuch klappt's dann doch. Und das obwohl ich den UART mit Hardware-Handshake fahre.

An A/D-Inputs habe ich noch eine Temperaturerfassung mit eingeplant. Außerdem ist es denkbar weiterhin auch einen Unterdrucksensor zu verarbeiten, wenn denn vorhanden. Das Design ist für weitergehende Automatisierungen offen: Zündkennfelder verarbeiten, Mehrzylinder, komplexe Diesel-, und Benzineinspritzung, Mehrfachzündung. All das sollte den PIC noch nicht überfordern.

Source

Zum einen fehlen noch die Zuweisungen für die Register:

```

182 \ Register associated with Zuendung
183
184 \ tmr0ie intcon mclr \ disable the tmr0 irq
185 \ to prevent crash
186 \ false di to irq ei \ zero the interrupt vector
187 -regs
188 marker -regs
189 decimal ram
190
191 : as0 ( opcode "name" -- ) ( -- )
192   constant
193   does> i, ;
194
195 : as2 ( opcode "name" -- ) ( f a -- )
196   constant
197   does> rot ic, or ic, ;
198
199 $6a as2 clrf, ( f a -- )
200
201 \ Registeradressierung
202
203 $ff92 con trisa \ Richtungsreg
204 $ff93 con trisb \ Richtungsreg
205 $ff94 con trisc
206 $ff80 con porta \ Output-Reg
207 $ff81 con portb \ Output-Reg
208 $ff82 con portc
209 $ff89 con lata \ Latch-Reg
210 $ff8a con latb
211 $ff8b con latc
212 $fff2 con intcon \ Interrupt-Control-Reg
213 $fff9e con pir1 \ Peripheral-Inter-Request-Reg
214 $ffa1 con pir2 \ Peripheral-Inter-Request-Reg
215 $fff9f con ipr1
216 $fff9d con pie1 \ Peripheral-Inter-Enable-Reg
217 $ffa0 con pie2 \ Peripheral-Inter-Enable-Reg
218 $ffa2 con ipr2
219 $ffd0 con rcon
220 $ffb6 con eccplas \ auto-shutdown-control reg
221 $ffb7 con pwmlcon \ pwm1 control reg
222 $ffba con ccp2con \ Capture 2 Control Reg
223 $ffbb con ccpr2l
224 $ffbc con ccpr2h
225 $ffbd con ccp1con
226 $ffbe con ccpr1l
227 $ffbf con ccpr1h
228 $ffb1 con t3con \ Timer3 Control-Reg
229 $ffb2 con tmr3l
230 $ffb3 con tmr3h
231 $ffca con t2con \ Timer2 Control-Reg
232 $ffcb con pr2
233 $ffcc con tmr2
234 $ffcd con t1con \ Timer1 Control-Reg
235 $ffce con tmr1l \ Timer1 Low-Reg
236 $ffcf con tmr1h \ Timer1 High-Reg
237 $ffd5 con t0con \ Timer0 Control-Reg
238 $ffd6 con tmr0l
239 $ffd7 con tmr0h
240 $ffc2 con adcom0 \ AD-Control-Reg
241 $ffc1 con adcon1 \ AD-Control-Reg
242 $ffc0 con adcon2 \ AD-Control-Reg
243 $ffc3 con adres1 \ AD-Low-Reg
244 $ffc4 con adresh \ AD-High-Reg
245 $ffb4 con cmcon \ Comparator-Control-Reg
246

```

```

247 \ Interruptflags maskbits
248
249 $0020 con tmr0iem \ Timer0 Interrupt Enable
250 $0004 con tmr0ifm \ Timer0 Interrupt Flag
251 $0001 con tmr1ifm \ Timer1 Interrupt Flag
252 $0002 con tmr3ifm \ Timer3 Interrupt Flag
253 $0001 con rbifm \ PortB Interrupt Flag
254 $0040 con adifm \ ADC Interrupt Flag
255 $0040 con peiem \ Peripheral Interrupt Flag
256 $0010 con eeifm \ Eeprom Interrupt Flag
257 $0004 con ccplifm \ Capture Compare Interrupt Flag
258 $0001 con ccp2ifm \ Capture Compare Interrupt Flag
259 $0040 con cmifm \ Comparator Interrupt Flag

273 cr ." portb: " portb c@ .r
274 cr ." trisc: " trisc c@ .r
275 cr ." latc: " latc c@ .r
276 cr ." portc: " portc c@ .r
277 cr
278 cr ." intcon: " intcon c@ .r
279 cr ." rcon: " rcon c@ .r
280 cr ." pir1: " pir1 c@ .r
281 cr ." piel: " piel c@ .r
282 cr ." ipr1: " ipr1 c@ .r
283 cr ." pir2: " pir2 c@ .r
284 cr ." pie2: " pie2 c@ .r
285 cr ." adcon0: " adcon0 c@ .r
286 cr ." adcon1: " adcon1 c@ .r
287 cr ." adcon2: " adcon2 c@ .r
288 cr ." tmr2: " tmr2 c@ .r
289 cr ." pr2: " pr2 c@ .r
290 cr ." ticon: " ticon c@ .r
291 cr ." t2con: " t2con c@ .r
292 cr ." t3con: " t3con c@ .r
293 cr ." ccpr1l: " ccpr1l c@ .r
294 cr ." ccpr1h: " ccpr1h c@ .r
295 cr ." ccplco: " ccplcon c@ .r
296 cr ." ccpr2l: " ccpr2l c@ .r
297 cr ." ccpr2h: " ccpr2h c@ .r
298 cr ." ccp2co: " ccp2con c@ .r
299 cr ." eccp1a: " eccp1as c@ .r
300 cr ." pwm1co: " pwm1con c@ .r
301 base !
302 ;

```

Und gut zum Debuggen:

```

260 \ tmr0ie intcon mclr
261 \ false di is irq ei
262 -nmea
263 marker -nmea
264
265 : .r ( n n+ -- ) 8 u.r ;
266
267 : porttest ( -- ) base @ bin
268 cr ." trisa: " trisa c@ .r
269 cr ." lata: " lata c@ .r
270 cr ." porta: " porta c@ .r
271 cr ." trisb: " trisb c@ .r
272 cr ." latb: " latb c@ .r

```



Abbildung 1: Ur-Saxonette mit Hilfsmotor und Version des Autors (Bj. 1992)

Referenzen

- [1] <http://www.sourceforge.net/projects/flashforth>. (kein Datum). FlashForth3.6.
- [2] Microchip. (2008). 39626e.pdf.
- [3] Roederer, K. (2010). Das FlashForth von Mikael Nordman. Vierte Dimension 1/2010, S. 12–18.

Listing

Und der komplette Sourcecode nochmal:

```

1 \ *****
2 \ Bromfiets controller for FlashForth *
3 \ Filename: Zuendung5.fth *
4 \ Date: 10.05.2013 *
5 \ FF Version: 3.6 *
6 \ Copyright: Mikael Nordman *
7 \ Author: Karsten Roederer *
8 \ *****
9 \ FlashForth is licensed according to the GNU General Public License*
10 \ *****
11 \ Bromfiets to go

```


Zündung mit Handverstellung

```
12  \
13
14  tmr0ie intcon mclr      \ disable the tmr0 irq to prevent crash
15
16  \ false di to irq ei   \ zero the interrupt vector
17  -zuendung
18  marker -zuendung
19  decimal ram
20  #2280 constant idling   \ engine idling
21  #3750 constant maxrpm20 \ max rpm at 20 km/h
22  #0017 constant tdccorrector \ 17° trigger before top dead center
23  #0030 constant maxdegree \ 30° max pre-ignition
24  #32 constant prescale  \ fit with ticon !
25  #04 constant cnts      \ cnts for hand-throttlet stay time
26  variable channel
27  variable allad         \ all sampels in the array discarded
28  variable igcountdown  \ ignition count down is set
29  variable period       \ actual rotation speed (pr1)
30  variable onedegree    \ counts for 1° by actual rotation speed
31  1 onedegree !
32  variable degrees      \ degrees through pre-ignitioner
33  1 degrees !
34  variable res1grad     \ cnts for reset to 1°
35  variable tunichts     \ cnts for doing nothing more
36  variable frueher      \ cnts for pre-ignition
37  variable spaeter      \ cnts for retarded-ignition
38
39  maxdegree tdccorrector - constant maxdegreer
40
41  cpu_clk #1000 um* idling um/mod #60 um* prescale um/mod dup
42  constant y2 period ! 2drop \ x2 = y2 later for the math, idle
43  \ speed
44
45  cpu_clk #1000 um* maxrpm20 um/mod #60 um* prescale um/mod
46  constant x1 2drop      \ x1 later for the math, idle
47
48  x1 maxdegree tdccorrector - um* #360 um/mod x1 swap -
49  constant y1 drop      \ y1 later for the math, idle
50
51  variable capt3        \ old capture value
52  variable earlier     \ new plugtime for compare
53  period @ earlier !   \ default at the beginning
54
55  y2 y1 - #1000 um* y2 x1 - um/mod x1 um* #1000 um/mod y1 -
56  constant z 2drop      \ often used constant during math
57
58  : ?exit      ( F1 -- )
59  postpone if
60  postpone exit
61  postpone then ; immediate
62
63  : case?      over = dup invert ?exit nip ;
64
65  : array create cells allot does> swap 2* + ;
66  ram #10 array sampel
67
68  : adgo [ adcon0 1 a, bsf, ] ; \ A/D go
69  : cmpgo [ pie1 2 a, bsf, ] ; \ enable CCP1IE interrupt
70
71  \ ADC-Initialisierung
```



```

72
73 : adinit ( -- )
74   [ porta a, clrf, ]
75   [ lata a, clrf, ]
76   %11010010 adcon2 c!           \ right justified 32 TOSC 4TAD
77                                   \ for 20 MHz; for 8 also ok
78   %11000101 adcon1 c!           \ set AN0-AN9 as A/D pins
79   %00111111 trisa c!           \ AN0 - AN5 input (future use)
80   [ trisb 2 a, bsf, ]           \ AN8 input
81   [ trisb 3 a, bsf, ]           \ AN9 input
82   [ trisb 4 a, bcf, ]           \ RB4 output for test use
83   [ trisc 1 a, bsf, ]           \ CCP2 inp, 17° Trigger falling edge
84   [ trisc 2 a, bcf, ]           \ zuendpuls
85   [ adcon0 0 a, bsf, ]          \ A/D on
86   [ pir1 6 a, bcf, ]            \ clear A/D interrupt
87   ccplifm intcon mtst drop
88   0 allad !
89   0 channel !
90   ;
91
92 \ Timer-Initialisierung
93
94 : timerinit
95   [ t3con 7 a, bsf, ]           \ 16-bit operation
96   [ t3con 6 a, bcf, ]           \ timer 1 is clock source for ccp1+2
97   [ t3con 3 a, bcf, ]
98   %11111001 ccp1con c!         \ compare and falling edge of ccp1 pin
99   %11110100 ccp2con c!         \ capture every falling edge of ccp2 pin
100  [ ccpr2l a, clrf, ]           \ clear capture2 data low reg
101  [ ccpr2h a, clrf, ]           \ clear capture2 data high reg
102  %10110101 t1con c!           \ Timer1Konfig :8 prescaler
103  [ tmr1l a, clrf, ]           \ clear Timerreg
104  [ tmr1h a, clrf, ]           \ clear Timerreg
105  ;
106
107 : irqserv ( -- ) \ interrupt service routine
108 [i
109   ccplifm pir1 mtst
110   if [ pir1 2 a, bcf, ]         \ clear ccplif
111     [ ccp1con 0 a, bsf, ]       \ make him high hopefully
112   then
113   ccp2ifm 1 pir2 mtst          \ 17° Trigger
114   if [ pir2 0 a, bcf, ]         \ clear ccp2if
115     [ portb 4 a, bsf, ]         \ set for test RB4
116     ccpr2h c@ 8 lshift ccpr2l c@ +
117     dup dup                     \ messe Periode
118     capt3 @ dup rot >
119     if swap invert 1+ + period !
120       else - period ! then
121       capt3 !                   \ store new capture
122       period @ dup 360 / dup onedegree ! degrees @ * - \ new igtcomptime
123       capt3 @ + dup $ff00 and 8 rshift ccpr1h c!         \ new compare high
124       $ff and ccpr1l c!         \ new compare low
125       [ portb 4 a, bcf, ] -1 igcountdown ! \ clear for foregr.
126   then
127   adifm pir1 mtst
128   if
129     adresh c@ 8 lshift adresl c@ +
130     channel @ sampel !           \ store sample
131   adifm pir1 mclr

```

Zündung mit Handverstellung

```
132     channel @ 1+ dup channel !           \ increment A/D-Channel
133     dup
134     1 > if drop 0 dup channel ! -1 allad ! then \ only channel 8 & 9
135     $8 + 2 lshift                          \ only channel 8 & 9
136     adcon0 c@ $c1 and or adcon0 c!
137     [ adcon0 1 a, bsf, ]                   \ go
138     then
139     i]
140     ;i
141
142 : start0  ( -- )
143     timerinit
144     cr ." tmroif" cr
145     adinit
146     [ pir2 0 a, bcf, ]                     \ clear CCP2IF interrupt
147     [ pir1 2 a, bcf, ]                     \ clear CCP1IF interrupt
148     \ [ pie2 0 a, bsf, ]                   \ enable CCP2IE interrupt führt zu Absturz
149     ['] irqserv di is irq ei ." EI" cr
150     tmr0ifm intcon mclr
151     tmr3ifm pir2 mclr
152     adgo
153     \ cmpgo Absturz
154     cr ." GO"
155     ;
156
157 : under  ( n1 n2 -- n2 n1 n2 )  swap over ;
158
159 : m/mod  ( d n -- rem quot )  dup >r
160     abs over 0< if under + swap then um/mod r@ 0<
161     if negate over if swap r@ + swap 1- then then rdrop ;
162
163 : cp  ( -- n )                      \ compare @ for test
164     ccpr1h c@ 8 lshift ccpr1l c@ + ;
165
166 : cntreset  ( -- )                  \ resets the hand-throttlet
167     0 tunichts ! 0 frueher ! 0 spaeter ! 0 res1grad ! ;
168
169 : decode  ( -- )
170     1 sampel @ dup .
171     dup #200 < true case? if tunichts @ 1+ dup
172                             cnts > if drop cntreset
173                             else tunichts ! then
174                             drop exit then drop
175     dup #400 < true case? if frueher @ 1+ dup
176                             cnts > if drop cntreset 1 degrees +!
177                             else frueher ! then
178                             drop exit then drop
179     dup #700 < true case? if spaeter @ 1+ dup
180                             cnts > if drop cntreset -1 degrees +!
181                             else spaeter ! then
182                             drop exit then drop
183     drop res1grad @ 1+ dup
184     cnts > if drop cntreset 1 degrees !
185     else res1grad ! then
186     ;
187
188 : start  ( -- )
189     cwd start0
190     begin
191     $4000 for next                \ ms funktioniert nicht mehr
```



```

192     allad @
193     if decode 0 allad ! then      \ so wait for new ADC-inputs
194 cr
195     period @ u.
196     capt3 @ u.
197     key?
198     until
199     cp u. ;
200
201 : tit ( -- n )                  \ timer @
202     tmr1h c@ 8 lshift tmr1l c@ + ;
203

```

e4thcom — Terminal für 4e4th, amforth und mecrisp

Manfred Mahlow

e4thcom ist ein minimalistisches Terminalprogramm für embedded Forth-Systeme, das das Hochladen von Quelltextdateien unterstützt. Das Hochladen wird durch Terminaldirektiven angestoßen, die am Terminal eingegeben oder in Quelltextdateien eingefügt werden können.

Forth auf Mikrocontrollern

Forth auf Mikrocontrollern hat den großen Vorteil der Interaktivität. So reicht schon ein einfaches Terminalprogramm aus, direkten Kontakt zum System aufzunehmen und seine Struktur und Funktionalität zu erkunden.

Ist man dann aber so weit, dass man erste Programme schreiben und testen kann, vermisst man die Möglichkeit, den in Dateien gespeicherten Quelltext zum Forth-System hochladen zu können. Hier kommt nun e4thcom ins Spiel.

e4thcom Terminal

e4thcom ist ein Terminalprogramm für das Linux OS, das Terminaleingaben ohne lokales Echo direkt an das Forth-System (Zielsystem) sendet und vom Zielsystem empfangene Zeichen im Terminalfenster ausgibt. Das ist der Terminalmodus des Programms.

Gibt man im Terminalmodus als erstes Zeichen einer neuen Zeile # ein, gelangt man in den Steuerungsmodus und kann Terminaldirektiven eingeben. Die eingegebenen Zeichen werden dann nicht zum Zielsystem gesendet sondern zwischengespeichert und nach Drücken der Eingabetaste vom Terminalprogramm als Direktive interpretiert.

Terminaldirektiven

Für das Hochladen von Quelltext werden in Analogie zu den Wörtern include und require des Forth Standards die Direktiven #include und #require unterstützt. Sie erwarten die Angabe der zu ladenden Quelltextdatei als einzigen Parameter:

```
#include <Datei> \ unbedingtes Hochladen
```

```
#require <Datei> \ bedingtes Hochladen
```

Beide Direktiven können auch in Quelltextdateien eingefügt werden - eine Direktive pro Zeile, der Rest der Zeile wird ignoriert - so dass beim Hochladen einer Datei automatisch weiterer Quelltext aus anderen Dateien eingefügt werden kann.

Die angegebene Quelltextdatei wird im Pfad `cwd:cwd/target:cwd/lib` gesucht. Dem liegt die Idee zugrunde, projektspezifischen Quelltext im cwd zu speichern, targetspezifischen Quelltext unter `cwd/target` und target- und projektunabhängigen Quelltext unter `cwd/lib`. cwd ist das Verzeichnis, das zum Zeitpunkt des Programmstarts das aktuelle Verzeichnis (current working directory) war.

Werden die Direktiven am Terminal eingegeben, können auch die Kurzformen #i und #r verwendet werden.

Neben den Terminaldirektiven für das Hochladen von Quelltextdateien können je nach Zielsystem weitere Direktiven definiert sein. Angaben dazu finden sich im Hilfetext für das jeweilige Zielsystem.

Hochladen von Quelltext

Beim Hochladen wird der Text zeilenweise aus der Quelltextdatei gelesen und entweder als Terminaldirektive interpretiert oder als Quelltext zum Forth-System übertragen.

Nach dem Senden eines Zeichens wird auf ein Echo gewartet und dann das empfangene Zeichen im Terminalfenster ausgegeben. Bleibt das Echo aus, wird die Übertragung mit einer Fehlermeldung abgebrochen.

Nach der Übertragung einer Zeile wartet das Terminal auf die ok-Meldung des Zielsystems. Kommt diese, wird das Hochladen mit der nächsten Zeile fortgesetzt.

Kommt sie nicht, wird das Hochladen mit einer Fehlermeldung abgebrochen.

Reine Kommentarzeilen werden nicht hochgeladen sondern nur im Terminalfenster ausgegeben.

Wird das Ende einer Quelltextdatei erreicht, wird diese geschlossen und zur aufrufenden Ebene zurückgekehrt. Sind alle Dateien geschlossen, wird wieder der Terminalmodus aktiviert.

Bedingtes Hochladen

Das bedingte Hochladen von Quelltext wurde, ausgehend von der Forderung, dass alle dafür erforderlichen Informationen nicht vom Terminal sondern im Zielsystem gespeichert werden und das Zielsystem möglichst wenig belastet wird, wie folgt implementiert:

1. Vor dem Hochladen wird geprüft, ob im Wörterbuch des Zielsystems bereits ein Wort mit dem Namen der hochzuladenden Datei existiert. Ist das der Fall, wird die Direktive ignoriert. Ist das nicht der Fall, wird die Datei hochgeladen.
2. Nach dem Hochladen wird erneut geprüft, ob ein Wort mit dem Namen der Datei im Wörterbuch existiert. Ist das nicht der Fall, wird im Wörterbuch ein NOOP-Wort mit dem Namen der Datei erzeugt .

Man kann also die Zahl der ins Wörterbuch einzutragenden Dateinamen minimieren, indem man, immer dann, wenn es Sinn macht, als Dateinamen den Namen eines Wortes verwendet, das in der Datei definiert ist.

e4thcom starten

Zum Starten von e4thcom öffnet man ein Terminal im jeweiligen Projektverzeichnis und gibt dort das Kommando

```
/path/to/e4thcom [-i target [options]]
```

ein.

Folgende Argumente werden unterstützt:

- i [**4e4th**, **amforth**, **mecrisp**] Angabe des Zielsystems
- b [**B9600**, **B19200**, **B38400**, **B57600**, **B115200**] Baudrate für die Datenübertragung
- d [**device**] Seriellles Device für die Datenübertragung, z.B. ttyS0, ttyUSB0, ttyACM0
- h Hilfetext anzeigen

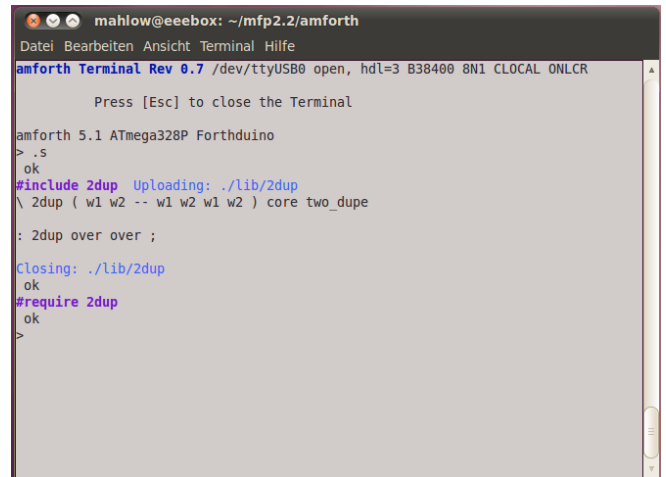


Abbildung 1: e4thcom im Standardterminal

Für die Optionen sind im Programm Standardwerte voreingestellt, die durch die Angaben auf der Kommandozeile überschrieben werden können.

Unmittelbar nach dem Programmstart wird die Verbindung zum Zielsystem hergestellt. Schlägt das fehl, weil das angegebene Device nicht existiert oder noch von einem anderen Prozess (z.B. dem Modemmanager des OS) belegt ist, wird das Programm mit einer Fehlermeldung beendet.

Nach Beheben der Fehlerursache oder kurzem Warten, bis der Modemmanager aufgibt, sollte dann ein erfolgreicher Programmstart möglich sein.

Babel ...

Da Forth-Systeme bei der Datenübertragung unterschiedliches Antwortverhalten haben, ist das Programm in einen Forth-Kern (e4thcom) und mehrere Imagedateien gegliedert; je eine Imagedatei pro Zielsystem (4e4th.i, amforth.i, mecrisp.i).

With a little help ...

e4thcom bietet keine erweiterten Editiermöglichkeiten für die Kommandozeile und auch keine Kommandozeilenhistorie. Es ist bewusst einfach gehalten. Man kann es aber - ganz in UNIX-Tradition - mit einem Tool kombinieren, das die fehlenden Eigenschaften hinzufügt. Ein solches Tool ist z.B. die ForthBox.

ForthBox

Die ForthBox ist ein GTK+ GUI für Forth-Interpreter und Forth-Terminals, ein Terminalemulator, ergänzt durch Dateiauswahldialoge für das Editieren und Ausführen/Hochladen von Forth-Quelltextdateien.

In einem Einstellungsdialog kann der Anwender die zu startende Terminalanwendung, das Projektverzeichnis, den zu verwendenden Editor und die Parameter für eine serielle Verbindung auswählen.

Um e4thcom in einer ForthBox zu starten, ist der Befehl

`/path/to/e4thcom -i forthbox`
einzugeben.

Unmittelbar nach dem Programmstart wird der Einstellungsdialog geöffnet. Nach Auswahl der gewünschten Optionen und Drücken des OK-Knopfes wird e4thcom für das ausgewählte Zielsystem im Terminalfenster gestartet. Schlägt das aus den oben genannten Gründen fehl, kann man, gegebenenfalls nach Anpassen der Einstellungen, das Terminalprogramm erneut starten, wie nachfolgend beschrieben.

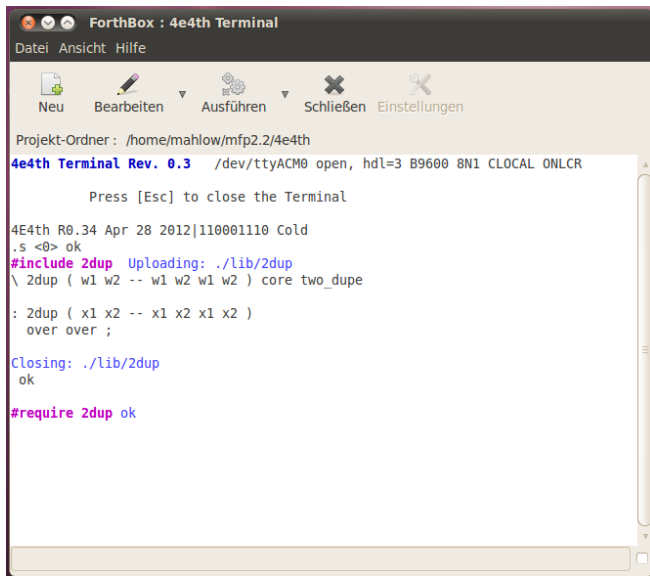


Abbildung 2: e4thcom in der ForthBox

Zur Verwendung der ForthBox hier nur noch ein paar kurze Hinweise:

- Über die Werkzeugleiste kann man mit den Knöpfen *[Bearbeiten]* bzw. *[Ausführen]* eine Datei zum Bearbeiten bzw. zum Ausführen/Hochladen auswählen.
- Neben den Knöpfen *[Bearbeiten]* und *[Ausführen]* gibt es jeweils einen Menü-Knopf, über den man auf die vom OS geführte globale Liste der zuletzt benutzten Dateien zugreifen kann. Hier erscheinen auch alle Dateien, die zum Bearbeiten ausgewählt werden.
- Eine zum Bearbeiten ausgewählte Datei wird nach dem Schließen des Auswahldialogs an den externen Editor übergeben, der im Einstellungsdialog ausgewählt wurde.
- Über den ersten Eintrag in der Liste zum Knopf Ausführen kann man den jeweiligen Terminal-Client neu starten.
- Unter dem Terminalfenster kann eine separate Kommandozeile mit automatischer Textauswahl (Historie) und automatischer Textvervollständigung aktiviert werden (Check-Button rechts unten).

Weitere Informationen zur ForthBox bleiben einem separaten Artikel vorbehalten.

Anmerkungen:

e4thcom ist freie Software gemäß der GNU General Public License Version 3. Es ist in MINFORTH Plus implementiert, einem MINFORTH Derivat und wurde mit folgenden Zielsystemen getestet:

- Arduino Duemilanove: amforth 4.9 und 5.1
- TI MSP430 Launchpad: mecrisp 1.0, 4e4th 0.34.

Mit Veröffentlichung dieses Artikels werde ich das Programm als `e4thcom-x.y.tar.gz` Archiv über die WEB-Seite der Forth-Gesellschaft www.forth-ev.de zur Verfügung stellen.

Fragen, Fehlerhinweise und Verbesserungsvorschläge zum Programm, auch Vorschläge für weitere Zielsysteme, bitte an folgende E-Mailadresse senden: manfred.mahlow@forth-ev.de .

Matrix-Tastaturscanner

Rafael Deliano

Häufig benötigt, eigentlich nicht komplex, aber Details wollen berücksichtigt werden.

Belegt typisch einen kompletten 8-Bit-Port des Controllers. Bis 8 Pins, also typisch 4x4 Tasten, kommt man ohne weiteres IC aus (Bild 1). Eine Tastatur mit 5x5 Tasten (Bild 2, 3) benötigt ein Schieberegister als Erweiterung. Die Widerstands-Arrays sind hier zwar eingezeichnet. Sie können im Layout aber oft entfallen, da der GP32 Controller intern zuschaltbare pullups hat.

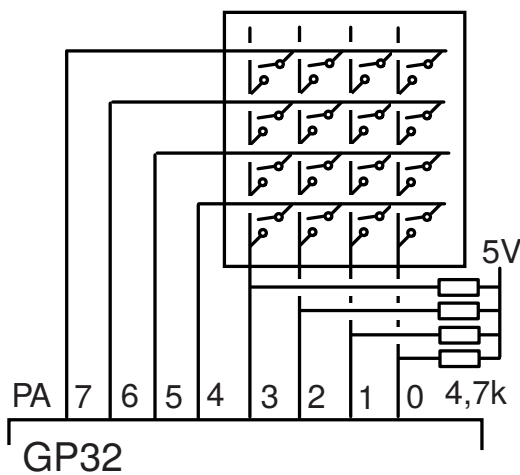


Abbildung 1: kleine Tastatur

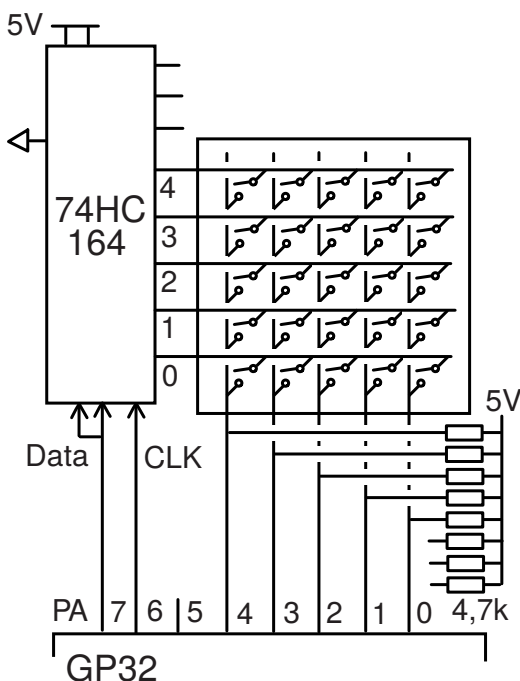


Abbildung 2: größere Tastatur

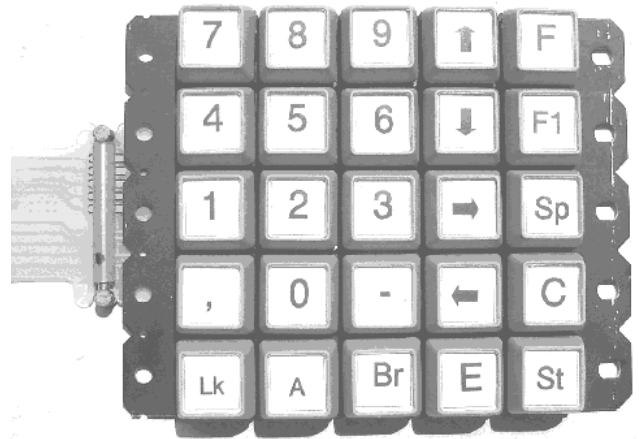


Abbildung 3: 5x5-Tastatur

Decodierung

Die Zeilen der Tastatur werden von Output-Pins angesteuert, die im Ruhezustand alle auf 00000 geschaltet sind. Die Spalten sind Inputs, die dann durch die pullups den Pegel 11111 haben. Man kann also Aktivität an der Tastatur direkt erkennen, wenn der gelesene Wert der Eingänge von 11111 abweicht. Decodierung der Taste erfolgt dann durch eine Routine GET-KEY die sequentiell die Muster 11110, 11101, 11011, 10111, 01111 ins Schieberegister (Bild 2) schreibt und anhand der Werte am Eingang die betätigte Taste bestimmt. Gültige Werte sind auch dort wieder 11110, 11101, 11011, 10111, 01111. Anhand der Positionsinformation der Taste in der Matrix holt man dann aus einer etwa 50 Byte langen Tabelle den eigentlichen Tastaturcode, meist ein 7 Bit ASCII-Zeichen. GET-KEY erkennt auch ghosting, also den Zustand, in dem mehrere Tasten betätigt sind, und liefert dann den Fehlercode 00 zurück.

Ausgabe

Auch wenn die meisten Taster nur maximal 10msec Prellzeit haben, sollte man bis zu 40msec tolerieren können. Zu lange darf die Entprellzeit aber auch nicht sein. Bei rascher Eingabe auf Computertastaturen dauert die Pause zwischen Tastendruck typisch nur 120msec [1] (Bild 7). Zudem will man eine unverzögerte Reaktion des Geräts auf Tastendruck. Die Timerfunktion sollte also passend konfigurierbar sein.

Meist lässt man die Tastaturroutine mit dem System-Tick des Geräts mitlaufen. Hier wird sie alle 0,5msec aufgerufen und mit LIMIT = 80, d.h. 128 Ticks, ist der Timer CNTR auf 64msec eingestellt (Bild 4).

Es gibt zwar eine Variable SYM, die den ASCII-Code der betätigten Taste enthält. Aber öfters benötigt man in der Variable SEMA an den Flanken einen key-on- und key-off-Token. ON Ist hier der ASCII-Code mit Bit 7 = 0, OFF mit Bit 7 = 1. Die Zustandsmaschine (Bild 6) sollte auch auf den Fall getestet werden, dass Tasten ohne Pause ineinander übergehen (Bild 5). Bzw. dass auch bei ghosting eine plausible key-on/key-off-Sequenz erzeugt wird.

Auf einem GP32 in Assembler ist der Speicherverbrauch inklusive Tabelle ca. 600 Byte. Bei 2,45MHz CPU-Takt benötigt die Routine 15usec, wenn keine Taste betätigt ist. Bzw. 280usec, wenn Taste gedrückt ist.

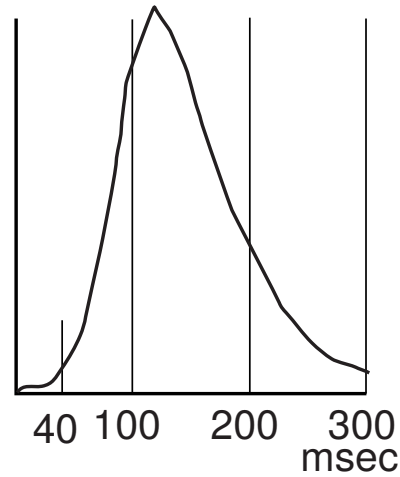


Abbildung 7: Häufigkeit der Pausen zwischen Tastendruck auf Computertastatur

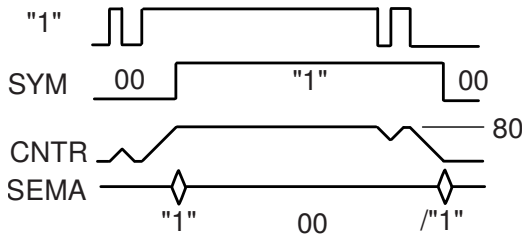


Abbildung 4: Signale in Variablen

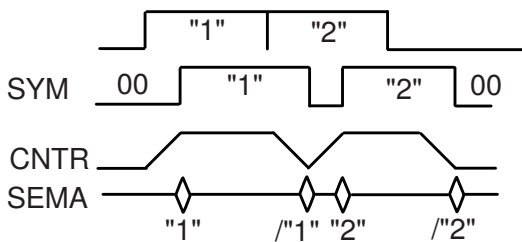


Abbildung 5: Betätigung ohne Pause

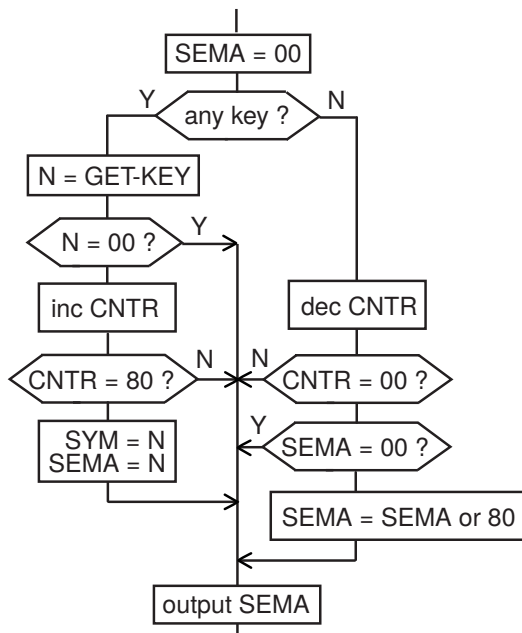


Abbildung 6: Flussdiagramm

Test-Modus

Hier wurde nur eine gedrückte Taste als gültige Eingabe zugelassen. In manchen Geräten sind undokumentiert Test- und Diagnosefunktionen realisiert, die durch gleichzeitige Betätigung von zwei Tasten ausgelöst werden. Da nicht sicher auszuschließen ist, dass der Benutzer in diese Betriebsarten stolpert, wird das hier nicht empfohlen. Kompromiss wäre, im power-up die Tastatur auf solche Doppeltasten abzufragen.

Referenzen

- [1] Sherr Input Devices, Academic Press 1988

Listing

```

1  <| \ SRC0
2
3  \ keyboard decoder
4
5  \ port PA pin 0 ... 4
6  PA 5 DCONSTANT TO \ out 0
7  PA 6 DCONSTANT CLK \ out 0
8  PA 7 DCONSTANT DATA \ out 0
9
10 :CODE CLK \ puls CLK-pin high
11 CLK MBS, NOP, NOP, NOP,
12 CLK MBC, RTS, CODE;
13 :CODE 4xCLK \ puls CLK-pin 4x high
14 ' CLK JSR, ' CLK JSR,
15 ' CLK JSR, ' CLK JMP, CODE;
16 :CODE SR=00000 \ clear shift register
17 DATA MBC, ' CLK JSR,
18 ' 4xCLK JMP, CODE;
19 :CODE SR=11110 \ load shift register
20 DATA MBS, ' 4xCLK JSR,
21 DATA MBC, ' CLK JMP, CODE;
22 :CODE SR=<<0 \ shift shift register
23 DATA MBS, ' CLK JMP, CODE;
24
25 : INIT-KB \ ( -- ) setup ports
26 B% 11100000 DPA C!
27 B% 00000000 PA C! SR=00000 ;
28
29 TABLE CHARS \ 00 = invalid
30 00 C, 21 C, 22 C, 23 C, 24 C, 25 C, 00 C,
31 00 C, 00 C, 31 C, 32 C, 33 C, 34 C, 35 C,

```



```

32 00 C, 00 C, 00 C, 41 C, 42 C, 43 C, 44 C,
33 45 C, 00 C, 00 C, 00 C, 51 C, 52 C, 53 C,
34 54 C, 55 C, 00 C, 00 C, 00 C, 61 C, 62 C,
35 63 C, 64 C, 65 C, 00 C, 00 C, 00 C, 71 C,
36 72 C, 73 C, 74 C, 75 C, 00 C, 00 C,
37
38 :CODE GET-CLMN \ out N 1+: 1,2,3,4,5 ;
39 XSAVE SHX, \ save stackpointer
40 X. CLR,
41 PA LDA,
42 B% 11111 #. AND,
43 INX,
44 B% 11110 #. CMP,
45 1 $ BEQ,
46 INX,
47 B% 11101 #. CMP,
48 1 $ BEQ,
49 INX,
50 B% 11011 #. CMP,
51 1 $ BEQ,
52 INX,
53 B% 10111 #. CMP,
54 1 $ BEQ,
55 INX,
56 B% 01111 #. CMP,
57 1 $ BEQ,
58 X. CLR,
59 1 $: TXA,
60 XSAVE LHX,
61 A. TST,
62 2 $ BEQ, \ skip if ghosting
63 N ORA, \ insert column code
64 N 1+ STA, \ store as output
65 N 2+ INC, \ inc CNTR
66 2 $: RTS,
67 CODE;
68
69 :CODE GET-KEY \ out accu: ASCII ; 00 = invalid
70 N 1+ CLR, \ output register
71 N 2+ CLR, \ CNTR
72 ' SR=11110 JSR, N B% 000000 #. MOV, \ SR=11110
73 ' GET-CLMN JSR,
74 ' SR=<<0 JSR, N B% 001000 #. MOV, \ SR=11101
75 ' GET-CLMN JSR,
76 ' SR=<<0 JSR, N B% 010000 #. MOV, \ SR=11011
77 ' GET-CLMN JSR,
78 ' SR=<<0 JSR, N B% 011000 #. MOV, \ SR=10111
79 ' GET-CLMN JSR,
80 ' SR=<<0 JSR, N B% 100000 #. MOV, \ SR=01111
81 ' GET-CLMN JSR,
82 ' SR=00000 JSR,
83 N 2+ DEC, \ CNTR to 00 if it was 01
84 1 $ BEQ,
85 N 1+ CLR, \ output = 00 if ghosting
86 1 $: N 1+ LDA,
87 XSAVE SHX,
88 TAX, H. CLR,
89 CHARS ,X LDA,
90 XSAVE LHX,
91 RTS,
92 CODE;
93
94 3 ZVARIABLE KY
95 \ 0 + SYM
96 \ 1 + CNTR
97 \ 2 + SEMA 00 =idle/invalid
98
99 :CODE KB? \ ( -- UC1 ) UC1 = 00000000 idle
100 \ UC1 = 0bbbbbbb on
101 \ UC1 = 1bbbbbbb off
102 KY 2 + CLR, \ sema = idle
103 PA LDA, \ test if keyboard activity
104 B% 11111 #. AND,
105 B% 11111 #. CMP,
106 1 $ BEQ,
107 ' GET-KEY JSR,
108 N STA,
109 1 $ BEQ, \ branch if ghosting
110
111
112 2 $ KY 1+ 7 BBS, \ inc CNTR if not LIMIT 80h
113 KY 1+ INC,
114 2 $ KY 1+ 7 BBC, \ if CNTR reaches LIMIT output
115 \ key-on sema
116 KY N MOV, \ load SYM
117 KY 2+ N MOV, \ load SEMA
118 2 $ BRA,
119
120 1 $: \ idle
121 KY 1+ LDA, \ dec CNTR if not 00
122 2 $ BEQ,
123 KY 1+ DEC,
124 KY 1+ LDA, \ if CNTR reaches 00 output
125 \ key-off sema
126 2 $ BNE,
127 KY LDA,
128 2 $ BEQ, \ skip if 00 : no code 80
129 80 #. ORA,
130 KY 2+ STA,
131 KY CLR, \ clear SYM
132
133 2 $: \ output sema
134 KY 2+ LDA,
135 DEX, 0,X STA,
136 A. CLR, DEX, 0,X STA,
137 RTS,
138 CODE;
139
140 \ -----
141
142 :CODE GET-KEY" \ ( -- UC1 )
143 ' GET-KEY JSR, \ get key
144 DEX, 0,X STA,
145 A. CLR, DEX, 0,X STA,
146 RTS,
147 CODE;
148
149 : TEST1 \ ( -- ) scan and print every second
150 INIT-KB BEGIN CR GET-KEY" CH. D% 1000 MSEC AGAIN ;
151
152 : TEST2 \ ( -- ) print key-on and key-off
153 INIT-KB
154 BEGIN KB? DUP
155 IF DUP 80 AND LNOT IF CR THEN CH. ELSE DROP THEN
156 1 MSEC AGAIN ;
157
158 CR ." -> SRC1"
159 CR |>
160

```


Atmendes LED

M. Kalus

Am Beispiel des MSP430G2553–LaunchPads wird gezeigt, was man alles so falsch machen kann auf dem Wege hin zu einem „atmenden“ LED. Ein eigentümliches Flackern im stetigen An- und Abschwollen der Helligkeit der LED brachte uns dann auf die richtige Lösung dieser Steuerungsaufgabe. Der Code dafür wird vorgestellt, in Assembler, um zu zeigen, wie wenig wirklich nötig ist für die atmende LED. Der Aufbau ist schnell beschrieben. Es braucht nur das LaunchPad am PC, sonst nichts. An Software braucht es natürlich den passenden Assembler. Bei diesem Assembler-Projekt wurde die IDE von IAR benutzt — Plattform: Windows XP.

Aufgabenstellung

Entstanden ist das atmende LED in einer Reihe kleinerer Schulungsprojekte. Der Student sollte einen RISC–Prozessor in einer MCU näher kennen lernen. Nachdem der Instruktionssatz und dann der Instruktionaufbau erarbeitet worden waren, galt es zu ermitteln, wie die CPU mit der auf dem Chip integrierten Peripherie zusammenwirkt. Das Konzept, solche integrierten Funktionsgruppen über Register I/O und Kontroll-Register zu steuern, sollte erkundet werden. In einer weiteren Serie soll dann der Übergang zum Bau eines Compilers (Forth) bewältigt werden.

Bei der Suche nach einer geeigneten Hardware fiel die Wahl auf das LaunchPad, weil es klein, handlich, billig und — vor allem — gerade verfügbar war, und zudem über USB einfach am PC angeschlossen werden konnte. Motiviert durch diese Schulungsaufgabe entstand eine kleine Assembler–Projektreihe für das LaunchPad. Bedingung für alle Projekte dieser Reihe war es, das LaunchPad zu benutzen „wie es ist“. Also ohne weitere Hardware daran anschließen zu müssen. Lediglich beim Projekt 7 wurde ein Potentiometer (Schiebesteller) hinzugenommen. Daraus entstanden folgende Übungen:

Projekt 0	Blinkendes LED
Projekt 1	Blinkendes LED II
Projekt 2	Tasterstellung anzeigen. (I/O Übung)
Projekt 3	Taster und Flanken-Interrupt
Projekt 4	Terminal und LEDs
Projekt 5	PWM an Pin P1.6 (grüne LED)
Projekt 6, 6a	Atmendes LED
Projekt 7	Dimmer (mit Potentiometer und LED)
Projekt 8	Ausgabe einer WAV-Datei

Wer sich dafür interessiert, findet diese im unten angegebenen Link.

Vorgabe

Das LaunchPad hat drei LEDs auf dem Board, zwei davon ansteuerbar, eine rote an Port-Pin P1.2 und eine grüne an P1.6. Die dritte ist lediglich Anzeige für die Versorgungsspannung. Die Vorgabe für das atmende LED war so: Ein LED in der Helligkeit langsam an- und abschwollen lassen, ungefähr in der menschlichen Atemfrequenz von etwa 10 Atemzügen pro Minute. So dass ein vollständiger Zyklus rund 6 Sekunden dauert. An- und Abschwollen sollte einem sinusförmigen Verlauf folgen. Übungshalber

wurden drei Dateien mit Sinus-Werten zwischen 0°–360° erzeugt, je eine Tabelle mit Werten in 1°, 5° und 10°-Schritten. Diese Tabellen wurden einmal in Excel, und dann auch mit Python erzeugt, in der Notation für den Assembler ausgegeben, und so als Datei eingebunden.

Vorbereitung

Zum Programmablauf wurden zunächst Ideen gesammelt, Fragen geklärt, und sodann ein Flussdiagramm erstellt (Abb. 1). Das beschrieb den Ablauf so: Ein Taktgenerator erzeugt ein schnelles periodisches PWM-Signal, mit dem ein bestimmter Helligkeitswert am LED erreicht, und so schnell wiederholt wird, dass kein Flimmern mehr zu sehen ist (Bildwiederholrate); dazu wurden mindestens 24 Hz (Kino), besser 50Hz bis 70Hz (wie flimmerfreie Monitore) angesetzt. Dieser TA0 genannte Taktgenerator löst Interrupts aus, und die ISR (engl.: interrupt service routine) setzt den Helligkeitswert jedesmal neu. Und ein anderer Taktgenerator TA1 wechselt den Helligkeitswert so, dass die Wertetabelle ca. alle 6s einmal durchlaufen wird. Dessen ISR holt den nächsten Helligkeitswert aus der Sinustabelle. Nach der Initialisierung hat die main-Routine somit keine weitere Aufgabe, die eigentliche Arbeit erledigen die beiden ISR. Hier sei schon verraten, dass wir es versäumt hatten, die Schnittstelle zwischen den beiden ISR zu diskutieren, und festzulegen wie die Werte übergeben werden sollen.

Programmierung — und zwei typische Fehler

Dann ging es ans Werk. Der Blick in das Handbuch der MCU zeigte, dass an P1.6 statt des einfachen I/O auch ein PWM-Signal ausgegeben werden kann (2nd function), erzeugt vom Timer-A0 der MCU. So nahmen wir für TA0 den Timer-A0. Der andere Takgeber brauchte keine Verbindung zur Außenwelt. TA1 soll ja lediglich den Trigger liefern, mit dem die Werte aus der Sinus-Tabelle periodisch an den PWM-Generator TA0 übertragen werden. Nach den Übungen aus den vorherigen Projekten war bald klar, was in den Timer-Registern initial eingestellt werden musste, das Listing zeigt, wie das geht.

Doch obschon der Ablauf der Interrupts funktionierte, schimmerte das grüne LED nur schwach. Dass die Interrupts funktionierten, wurde folgendermaßen überprüft.

Durch die zusätzliche Instruktion `XOR.B #red,&P1` wurde die rote LED getoggelt, also immer, wenn der Prozessor dort „vorbei“ kam, wechselte die rote LED ihren Zustand zwischen *an* und *aus*. Um das mit dem Auge verfolgen zu können, wurde der Prozess stark verlangsamt. Der Prozessortakt wurde auf 1MHz herabgesetzt, und die Taktteiler der Timer wurde maximal gesetzt (prescaler 1/8). Das führte dazu, dass man dem *An* und *Aus* der LEDs schon folgen konnte, und sah was passierte. Indikator war jeweils die rote LED, siehe Listing. Also die Interrupts arbeiteten korrekt.

Was wir übersehen hatten, war, dass unsere Sinustabelle mit einer Auflösung von 8Bit generiert worden war, also Werte zwischen 0 — 255 hatte. Doch das Timer-Register hat 16bit-Breite, und die Wiederholung der Periode geschah langsam, nach \$FFF0 Takten. Das hatte zur Folge, dass immer nur ein 8Bit schmales SET, und dann ein um so breiteres RESET des PWM erfolgte. Was natürlich die LED nur so gerade eben schimmern ließ. Immerhin, im Prinzip funktionierte es schon mal. So wurden die Tabellen neu skaliert auf Werte 0 — \$FFFF. Nun atmete die LED schon sichtbar. Sichtlich war aber auch, dass am hellsten Punkt ein kurzes Verlöschen zu sehen war. Der Tabellenwert \$FFFF, übertragen ins Comparator-Register TACCR1, war größer als der Timer-Reset-Wert im Comparator-Register TACCR0, was dazu führte, dass es dann gar nicht zum SET kam, die LED also einige Perioden lang ausgeschaltet blieb, was ein sichtbares Erlöschen zur Folge hatte. Die Tabellen wurde erneut angepasst, jetzt mit Maximalwerten passend zum Wert der PWM-Periode, so wie im Listing notiert. Damit war dieses Phänomen behoben. Nun lief eigentlich alles sehr schön glatt, das LED atmete.

Doch ab und zu funkelte es unstet. Zuerst sah das wie zufällig aus. Das LED ging manchmal für einen kurzen Augenblick einfach aus. Nach längerer Betrachtung fanden wir heraus, dass dahinter eine feste Sequenz lag. Diese Regelmäßigkeit blieb aber zunächst rätselhaft. Nachdem das Internet befragt worden war (siehe Link), hatten wir endlich einen Verdacht, woran es liegen könnte. Das Phänomen hatten wir unter uns dann „Rückfall“ genannt. Der Timer zählt ja kontinuierlich hoch bis zu seinem Umkehrpunkt, definiert durch den Wert im Register TACCR0, springt da wieder auf null, und setzt dabei den Pegel an P1.6 *high* — SET. Unterwegs erreicht der Zähler den Wert im Register TACCR1, wodurch der Pegel an P1.6 wieder auf *low* gesetzt wird — RESET. Wenn nun der Wert im TACCR1 absichtlich hinter den Zählerstand TAR des Timers zurück gesetzt wird, gibt es in dieser Periode kein RESET mehr. In den Skizzen wird dies veranschaulicht. Diese „Rückfall-Lücke“ war tatsächlich sichtbar für das menschliche Auge, glücklicherweise, jedenfalls bei der Wiederholrate die wir eingestellt hatten. Sonst wäre uns dieses Phänomen verborgen geblieben.

So ein „Rückfall“ passierte also immer dann, wenn durch die Phasenverschiebung zwischen der Wiederholrate und der PWM-Frequenz das Register TACCR1 gerade dann mit einem kleineren Wert neu beschrieben wurde, wenn TAR kurz davor war, den vorherigen Wert von TACCR1

zu erreichen. Die Register vom Timer-A haben keinen Puffer. Schreibt man dort einen neuen Wert hinein, wird er **sofort** wirksam, und es kommt dann ab und zu diesem Flackern des LED. Indem wir ein Puffer-Register dazu nahmen, verschwand das Phänomen. So übernahm nun die PWM-Routine ihren Stellwert immer am Ende ihrer Periode aus diesem Puffer. Und die Routine für die Wiederholrate schrieb dort hin (s. Listing).

So entstand schließlich ein schön gleichmäßig atmendes LED. Die Listings im Link beinhalten auch die Fehler, die wir gemacht haben, und auch Testhilfen, allerdings auskommentiert. Die nicht auskommentierten Zeilen enthalten die Lösungen. Viel Spaß beim Ausprobieren der Phänomene.

Skizzen

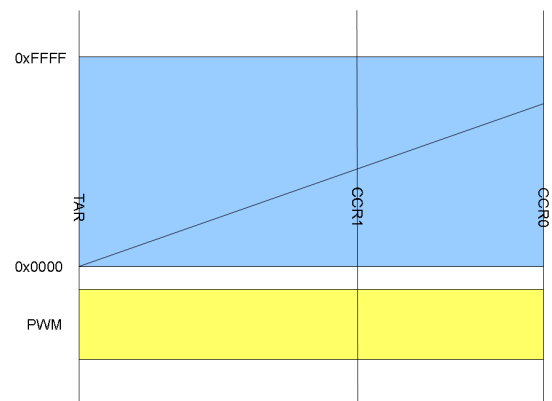


Abbildung 1: Der Timer A (blau) startet einen PWM-Zyklus. Timer-A-Register TAR=0.

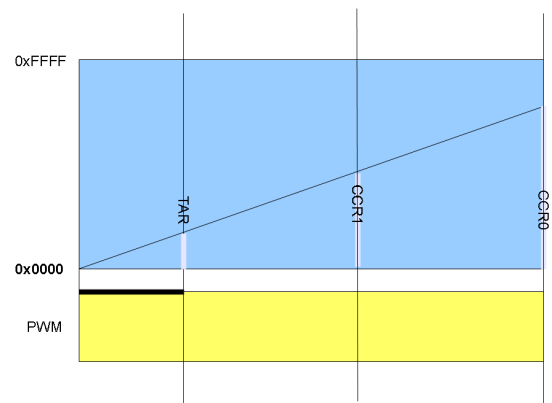


Abbildung 2: TAR zählt hoch. Die Spannung am PWM-Pin ist $V_{cc} = \text{SET}$.

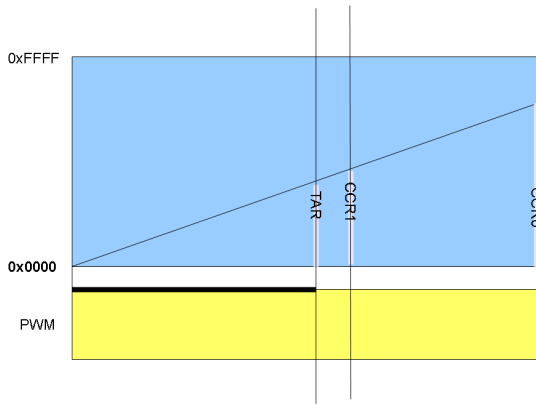


Abbildung 3: Der Wert in TAR nähert sich dem Wert im Timer-A-Register CCR1.

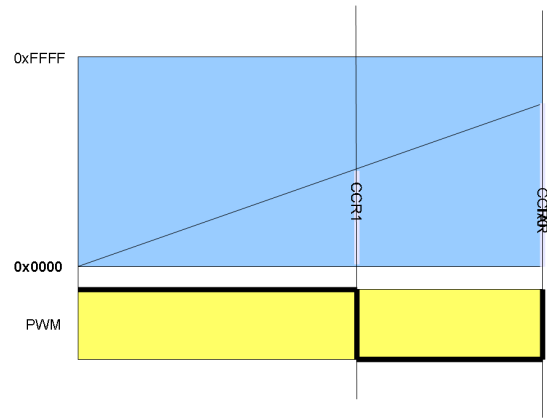


Abbildung 6: TAR=TACCR0. Es erfolgt ein SET des PWM-Signals, sowie TAR=0 (Im upmode setzt der Zähler hier TAR auf NULL zurück.)

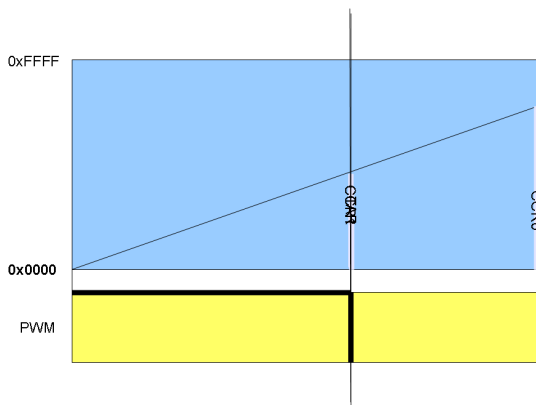


Abbildung 4: TAR=TACCR1. Der Pegel am PWM-Pin springt auf Vss=RESET

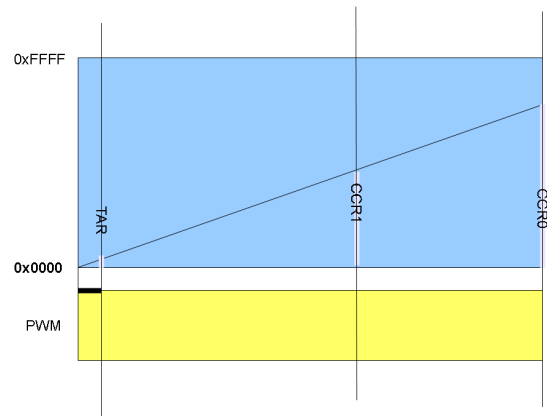


Abbildung 7: TAR zählt erneut hoch. PWM == SET.

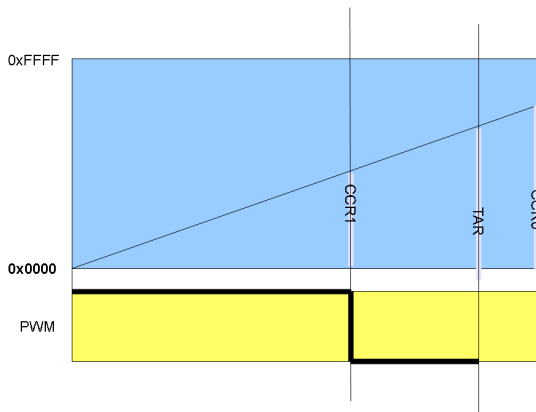


Abbildung 5: TAR zählt weiter hoch.

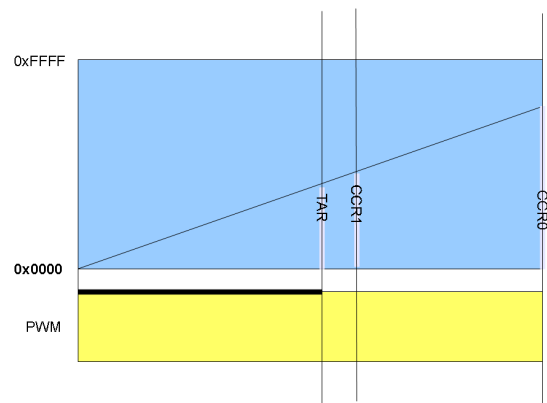


Abbildung 8: Der Wert in TAR nähert sich wieder dem Wert in CCR1...



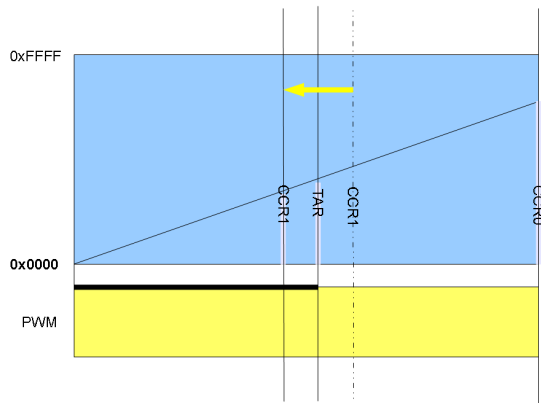


Abbildung 9: ... und in dem Moment wird der Wert in CCR1 von der anderen ISR herunter gesetzt, tiefer als der Wert, den TAR schon erreicht hatte. ...

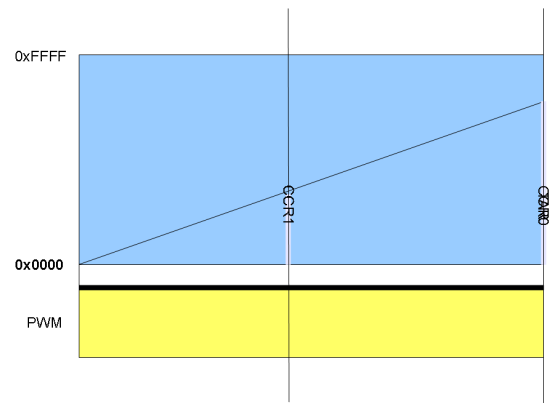


Abbildung 11: Bei TAR=CCR0 wird ebenfalls ein SET des PWM gemacht, PWM bleibt also weiterhin im Zustand SET. TAR=0, ein neuer Zyklus beginnt.

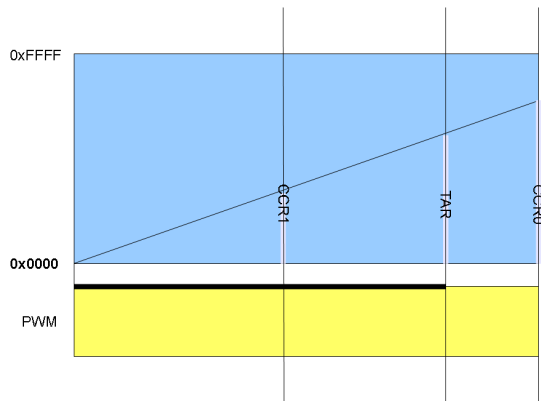


Abbildung 10: ... TAR zählt weiter hoch, es kommt aber nicht mehr zu einem Gleichstand mit CCR1. Der Zustand SET des PWM bleibt daher erhalten. Es fällt daher die RESET-Phase aus.

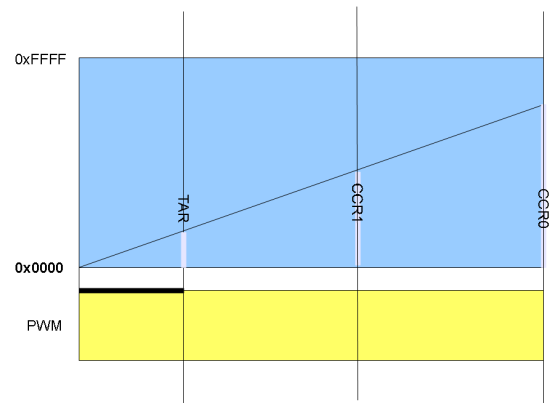


Abbildung 12: TAR zählt wieder hoch, erreicht den neuen CCR1-Wert, RESET des PWM usw. Es ist also eine Periode ausgefallen, weil Schreiben eines neuen Wertes nach CCR1 sofort wirksam wird. Die Pufferung muss also außerhalb des Zählers in Software gemacht werden.

Links

Die kleinen Projekte sind hier zusammengefasst:
https://dl.dropboxusercontent.com/u/1170761/8_projekte.zip

Den rettenden Beitrag fanden wir hier:
 „PWM using TimerB in Continuous mode“; in: msp430@yahoogroups.com

Listing

```

1 ; projekt 6a - Atmendes LED II
2 #include "msp430.h" ; #define controlled include file
3
4 ;          76543210
5 #define gruen 01000000b /* Maske für grünes LED */
6 #define rot 00000001b /* Maske für rotes LED */
7 #define Prozessortakt CALBC1_8MHZ
8 #define pwmPeriode 0xFFFE /* Dauer der PWM--Periode */
9 #define bildperiode 0xA2C2 /* Dauer für einen Schritt aus der Sinustabelle. */
10

```




```

11     NAME    main                ; module name
12     PUBLIC  main,isr_TA1,isr_TA0,init,isr_null
13     EXTERN  sinStart,sinEnd
14     RSEG    CSTACK                ; pre-declaration of segment
15     RSEG    CODE                ; place program in 'CODE' segment
16  init:  MOV.W  #WDTPW+WDTHOLD,&WDTCTL ; Stop watchdog timer
17         MOV   #SFE(CSTACK), SP      ; set up stack
18         MOV.B &Prozessortakt, &BCSCTL1 ; Set DCO = Prozessortakt
19         MOV.B &Prozessortakt, &DCOCTL
20         MOV.B #(gruen+rot),&P1DIR    ; p1.0 und p1.6 auf output setzen
21         BIS.B #gruen,&P1OUT          ; grueene LED anmachen
22         BIC.B #rot,&P1OUT            ; rote LED ausmachen
23         BIS.B #gruen,&P1SEL          ; second funktion von P1.6 = TA0.1
24         MOV   #sinStart,R4          ; Tabellenanfang nach R4 schreiben
25         MOV   @R4,R5                ; Buffer R5 mit Startwert laden
26         ;TA0 init
27         BIS   #CCIE,&TA0CCTL0        ; Interrupt mode aktivieren
28         BIS   #OUTMOD_7,&TA0CCTL1    ; set/reset mode anmachen
29         MOV   #pwmPeriode,&TA0CCR0   ; set 122/s
30         MOV   R5,&TA0CCR1 ; set initialen Wert = tebellen anfang
31         BIS   #(TASSEL_2+MC_1),&TA0CTL ; use smclk fuer TA0, upMode
32         ;TA1 init
33         BIS   #CCIE,&TA1CCTL0        ; Interrupt mode
34         MOV   #bildperiode,&TA1CCR0   ; set bildperiode
35         BIS   #(TASSEL_2+MC_1+ID_3),&TA1CTL ; smclk, upMode, /8
36
37         BIS.B #GIE,SR ; Global Interrupt an
38  main:  JMP main ; (endless loop)
39
40  isr_null: RETI
41  isr_TA0: MOV R5,&TA0CCR1            ; helligkeitswert aendern
42         RETI
43  isr_TA1: MOV @R4+,R5                ; Tabellenwert in Buffer R5 schreiben
44         CMP  #sinEnd,R4
45         JN   isr_TA1_end
46         MOV  #sinStart,R4
47  isr_TA1_end: RETI
48         END
49
50  (Für den Druck wurde die Sinustabelle gekürzt. Bitte Projekt herunterladen.)
51  PUBLIC  sinStart,sinEnd
52  RSEG    CODE
53  ;Sinus--Tabelle in 5--Grad--Schritten
54  sinStart:
55         DW  32767            ; 0 Grad
56         DW  35623            ; 5 Grad
57         DW  38457            ; 10 Grad
58         DW  41248            ; 15 Grad
59         ...
60  sinEnd:
61         END

```

Wave Engine (8)

Hannes Teich

Die im letzten Beitrag besprochene Programmversion war im Stande, vier abklingende Akkorde ertönen zu lassen, die allerdings von unerwünschten Nebengeräuschen begleitet waren. Dieses Rauschen zu beseitigen, war nicht ganz trivial, und davon soll heute berichtet werden.

Die Fehlersuche

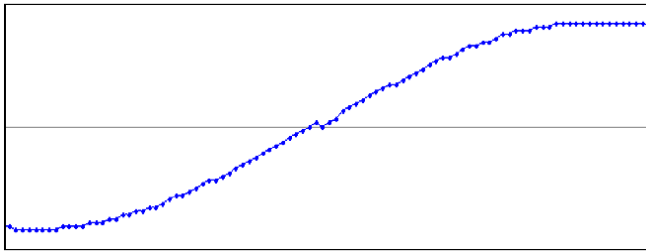


Abbildung 1: Das leidige Rauschen, mit Audacity sichtbar gemacht

So wie in **Abb. 1** sah es vor der Reparatur aus. Der erste Blick lässt den Verdacht aufkommen, es gehe hier um *floored/symmetric division*, aber so etwas ist nicht beteiligt. Auch sonst ist die Kurve nicht eben „smooth“, und das ist halt deutlich zu hören. Um die Ursache zu finden, ist ein tieferer Blick ins Geschehen nötig.

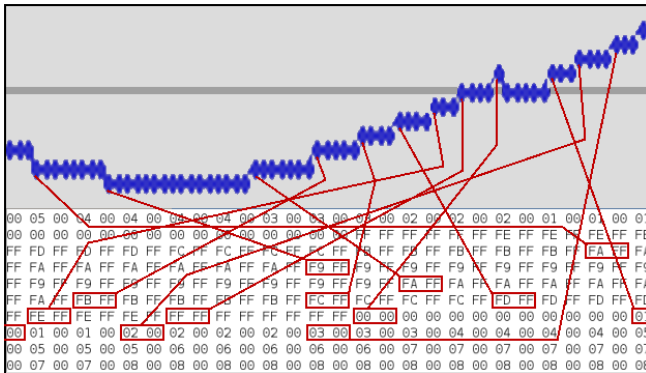


Abbildung 2: Protokoll einer Fehlinterpretation

Abb. 2 zeigt die durch das Programm berechneten Werte rund um einen Nulldurchgang, sowie deren Auswirkungen, mit der Anwendung *Audacity* sichtbar gemacht. Der Übergang von FF-FF zu 00-00 scheint die Doppelbytegrenzen anzuzeigen. Doch das stellte sich als Irrtum heraus: Die Kästchen sind allesamt um ein Byte nach rechts verrutscht. Der Ausreißer nach oben wird durch die Folge \$FFFF - \$00FF - \$0000 ausgelöst (in Dezimalzahlen -1 - 255 - 0), und damit verhält sich der Ausreißer korrekt. Warum allerdings \$FFFF und \$0000 (zumindest bei *Audacity*) auf gleicher Höhe landen, ist ungeklärt, aber auch ziemlich unwichtig. Denn wie man sieht, ist durch die Verwechslung der Bytes die ganze Angelegenheit um den Faktor 256 vergrößert worden.

Es lag also nahe, die Funktion *swap-bytes* ins Spiel zu bringen. Das allerdings führte auch nicht zum gewünschten Verhalten, es gab immer noch Nebengeräusche. Des

Rätsels Lösung war schließlich: Irgendwo vorher war ein Byte zu viel eingefügt, so dass alle Werte um ein Byte nach rechts verschoben waren — und damit hohe und tiefe Bytes vertauscht erschienen.

Im Nachhinein muss ich mir sagen, **Abb. 1** hätte mich auf die Verwechslung / Verschiebung schon aufmerksam machen sollen. Die grobe Darstellung war mir zwar aufgefallen, aber ich hielt das für ein weiteres Problemchen, das ich anschließend anzugehen gedachte.

Weitere Aspekte

Die vier (jetzt sechzehn) Akkorde klingen jetzt ausreichend sauber. Es handelt sich schließlich um eine temperierte Stimmung, die immer etwas rauer klingt als eine reine, vor allem, wenn es sich um eine sterile Tonerzeugung handelt. Den Tönen tut ihre Oberquinte (2. Oberton) gut. Ohne sie klingt es härter, wie der geneigte Leser (m/w) selbst feststellen kann, wenn er (*Gforth* und *Wave-Engine-Ver3-03* geladen habend) die Obertöne mal probeweise abschaltet. Dazu wären in Datei *singen-2.fs* (ziemlich unten) die Lautstärkewerte der vier Obertöne von 1000 auf 0 zu setzen.

Der letzte Akkord wollte nicht ausklingen, er wurde vorzeitig beendet. Der von der Partitur gelieferte Zweibyte-Wert für die Tonlänge kann die Anzahl benötigter Frames nicht fassen. Der Maximalwert 65536 ergibt mit 44100 Frames pro Sekunde nicht die ausreichende Zeit. Deshalb wird für den aktuellen Fall in Funktion *loops* mit $2*$ ein 17-bit-Wert erzeugt.

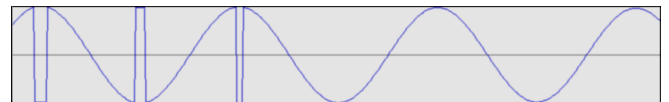


Abbildung 3: Übersteuerung eines abklingenden Tons

Abb. 3 zeigt, was bei Übersteuerung geschieht. Mit den Zweibyte-Werten ist das Maximum der Amplitude ± 32767 . Die entstehenden bösen Nägel ließen sich zwar durch eine passende Begrenzung vermeiden, aber sie sind ein deutliches Indiz für Korrekturbedarf. Überhaupt sollte man mit der Amplitude vorsichtig verfahren, denn gesetzt der Fall, man hätte vier gleiche Töne gleichzeitig, so würden diese sich gnadenlos addieren. Was war noch? Die erklingende Kadenz (C-Dur — F-Dur — G-Dur — C-Dur) war in der letzten Version einen Halbton zu hoch — nicht wichtig, aber dennoch erwähnenswert.

Aktuelle Version WE3-03 zum Runterladen

Wie schon bei den Versionen WE3-01 und WE3-02 wird auch diesmal aller Code zur Verfügung gestellt. Gforth gibt es (unter anderem) für Linux und Windows, ich habe beides getestet. Abb. 4 zeigt den Aufruf unter Linux. (Um genau zu sein: Point Linux, das auf Debian aufsetzt.)

```
jgt@point:~$ cd Wave_Engine_8
jgt@point:~/Wave_Engine_8$ gforth WAVER3-03.fs

included: goodies.fs
included: freqtab-1.fs
included: wavgen.fs
included: partitur.fs
included: singen-2.fs

WAVER3-03  >>>----> Mit 'go' starten! <----<<<

Gforth 0.7.0, Copyright (C) 1995-2008 Free Software Foundation, Inc.
Gforth comes with ABSOLUTELY NO WARRANTY; for details type `license'
Type `bye' to exit

go ..... fertig! <0> <0>
ok
```

Abbildung 4: Protokoll des Aufrufs und Ablaufs mit Linux

Man sieht in **Abb. 4**, ich hatte die relevanten Dateien in einem Ordner „Wave_Engine_8“, der im „Persönlichen Ordner“ steckt. Im Umgang mit meinem neuen Ultrabook bin ich noch nicht sattelfest, mit Windows 8 noch weniger. Es ist mir nicht gelungen, den Ordner „Wave_Engine_8“ in den Ordner „Hannes“ zu verschieben, also musste er für diesmal auf dem Desktop bleiben. **Abb. 5** zeigt, wie mir der Aufruf in der PowerShell gelang.

```
PS C:\Users\Hannes> cd Desktop\Wave_Engine_8
PS C:\Users\Hannes\Desktop\Wave_Engine_8>
    \"Program Files (x86)\"gforth\gforth WAVER3-03.fs
```

Abbildung 5: Aufruf mit Windows 8.1

Für Windows 7 dürfte „Program Files (x86)“ durch „Programme“ oder „Programs“ zu ersetzen sein. Das Forth

steckt jedenfalls im Ordner „gforth“, und das Ergebnis ist eine abspielbare Datei „WE-001.wav“. Mein Windows zierte sich beim Abspielen, aber mit „Audacity“ (das gibt’s kostenlos für Linux und Windows) geht es allemal. Diese Anwendung zeigt die Kurven optisch und übernimmt auch die Wandlung nach „mp3“.

Ich habe in den Dateien auf Umlaute verzichtet wegen der besseren Lesbarkeit unter Windows. Der Windows-Editor kommt mit Linux-Text nicht zurecht, Wordpad aber schon.

Die Dateien stecken in „Wave-Engine-Ver3-03.zip“, Fundort am Ende des Artikels. Dieses Zip-Paket ist auch auf meiner Homepage zu finden.

Ausblick auf Künftiges

Mir war wichtig, an einem einfachen Beispiel (2 Manuale, je 2 Töne mit je 2 Obertönen) das Prinzip durchzuspielen, das beim allmählichen Aufblähen auf volles Werk (4 Manuale, je 6 Töne mit je 16 Obertönen) erhalten bleiben kann. Leider ist meine alte (solchermaßen aufgeblähte) Version nicht mehr lauffähig, aber die Neufassung wird allemal besser und übersichtlicher als der zusammengebastelte alte Klotz.

Ich habe „Response“ aus der Leserschaft erhalten, deshalb werde ich weiter berichten. Hanno Schwalm hat vorgeschlagen, die unzähligen Sinus-Berechnungen durch eine Tabelle zu ersetzen, um das Programm zu beschleunigen. Obgleich die Wave Engine nicht in Echtzeit funktioniert, wäre es doch recht angenehm, nicht gar so lange auf das Ende einer Kompilation warten zu müssen. Gute Idee!

Das große Thema „Syntaxerkennung“ muss ich noch ein bisschen aufschieben, obwohl ohne sie das Abfassen einer „Partitur“ mit mehr als sechzehn Akkorden zur Fleißarbeit wird.

Referenzen

In diesen VD-Heften wurde bisher über die Wave Engine berichtet:

2/2011, 3/2011, 1/2012, 2/2012, 4/2012, 1/2013, 2/2013, 3/2013.

Beachten Sie bitte den Dateibereich der Website der Forth-Gesellschaft unter

<http://www.forthev.de/filemgmt/viewcat.php?cid=54>

oder auch unter <http://tinyurl.com/WEpage>

sowie die Website des Autors unter <http://www.stocket.de/WE>



Kapazitätsmessung und kapazitive Fühler

Matthias Koch

Wer schon immer einmal sein eigenes Touchpad oder einen kapazitiven Sensor bauen wollte, für den ist dieser Artikel gedacht. Es gibt verschiedene bekannte Möglichkeiten, Kapazitäten zu bestimmen, zum Beispiel über die Resonanzfrequenz in einem Schwingkreis mit bekannter Induktivität oder über die Entladezeit parallel zu einem bekannten Widerstand. Doch da in der Vierten Dimension auch programmiert werden soll, stelle ich diesmal ein Verfahren vor, welches die Kapazität eines Fühlers durch Vergleich mit einem wesentlich größeren, wohlbekanntem Referenzkondensator bestimmt.

Prinzip

Das grundlegende Prinzip besteht darin, mit der kleinen Fühlerkapazität Ladung zu schöpfen und zu prüfen, wie oft geschöpft werden muss, bis die Referenzkapazität geladen ist.

Der elektrische Aufbau, der mit einem MSP430-Launchpad ausprobiert werden kann, ist sehr einfach:

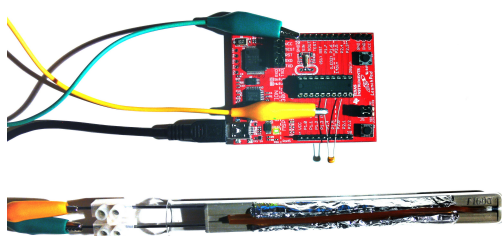


Abbildung 1: LaunchPad mit Fühler — Übersicht des Aufbaus. Matthias zeigt hier einen Fühleraufbau, der auch in Wasser eingetaucht werden kann. Beachte den kleinen Referenz-Kondensator am LaunchPad.

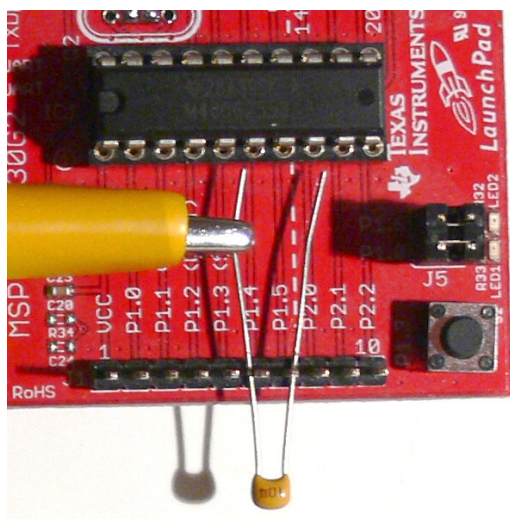


Abbildung 2: Der Referenz-Kondensator am LaunchPad.

Ablauf der Messung

Zu Beginn werden beide Anschlüsse vom Mikrocontroller als Ausgang-Low geerdet — damit ist der Referenzkondensator und der Fühlerkondensator entladen und alles für die Messung bereit. Es beginnt eine Schleife über die folgenden beiden Schritte, wobei in der

Implementation stets über „Beide-Anschlüsse-Eingang-Zwischenzustände“ geschaltet wird, damit nicht beide Anschlüsse kurzfristig zugleich Ausgänge sein können:

Erster Schritt: Während der Referenzanschluss Eingang ist und frei schwebt, wird der Fühleranschluss auf Ausgang-High gesetzt. Dadurch wird der Fühlerkondensator geladen. An dieser Stelle wird der Referenzanschluss-Eingang gelesen, denn während der Fühleranschluss getrieben wird, können nicht so leicht Störungen einkoppeln. Um zu verstehen, was dieses gelesene Bit bedeutet, müssen wir den Referenzkondensator und die analogen Eigenschaften der digitalen Eingänge näher betrachten: Der Referenzkondensator ist an der einen Seite über den Fühleranschluss mit der positiven Betriebsspannung verbunden, während die andere Seite schwebt. Ist der Kondensator leer, gibt es keine Spannungsdifferenz zwischen seinen Beinen, und auch der schwebende Eingang liegt auf High-Pegel. Ist allerdings bereits Ladung im Referenzkondensator vorhanden, so ergibt sich an dieser Stelle eine Spannungsdifferenz, und der schwebende Eingang spürt eine Spannung, die mit zunehmender Ladung des Referenzkondensators immer weiter sinkt. Da die digitalen Eingänge eine Hysterese haben, springt der gelesene Zustand auf Low, wenn der Referenzkondensator weit genug geladen ist, um mit seiner Spannungsdifferenz zur positiven Betriebsspannung hin die untere Schaltschwelle zu erreichen.

Zweiter Schritt: Der Fühleranschluss wird zum Eingang, während der Referenzanschluss auf Ausgang-Low gesetzt wird. An dieser Stelle sind beide Kapazitäten parallel geschaltet und verteilen ihre Ladung so, dass an beiden Kondensatoren schließlich die gleiche Spannung anliegt. Da die kleine Fühlerkapazität im ersten Schritt auf die volle Betriebsspannung aufgeladen worden ist und der Referenzkondensator zu Beginn entladen ist, steigt so die Spannung im Referenzkondensator mit jedem Schritt ein klein wenig an und nähert sich nach vielen Schritten in Form einer Sättigungskurve der Betriebsspannung. Auch in diesem Schritt könnte theoretisch der Ladezustand des Referenzkondensators abgefragt werden, da hier jedoch der Fühleranschluss „offen“ ist, könnten Störungen leichter einkoppeln.

Aus der Anzahl an Ladeschritten, die nötig gewesen sind, um den Referenzkondensator bis zum Auslösen der Hystereseschwelle zu laden, kann die Fühlerkapazität berechnet werden. Details dazu können gerne bei mir erfragt werden, doch praktisch genügt es zu wissen, dass

eine kleine Zahl von Ladeschritten eine große Fühlerkapazität bedeutet. Sind sehr viele Ladeschritte nötig, ist die Fühlerkapazität im Vergleich zur Referenzkapazität klein. Um eine feine Auflösung zu erreichen, sollte die Größe der Referenzkapazität so gewählt werden, dass viele Ladeschritte nötig sind, aber nicht zu viele, denn mit der Zahl der Ladeschritten steigt leider auch der Einfluss von Leckströmen und Schwankungen in der Temperatur oder bei der Betriebsspannung. Viele Faktoren spielen eine Rolle, so dass es am besten ist, mit dem fertigen Aufbau Messungen zur Kalibration durchzuführen. Bewährt hat sich ein Bereich von einigen hundert bis hin zu einigen tausend Ladeschritten pro Kapazitätsmessung, für einen Berührungsfühler mit typischerweise einigen hundert Picofarad ist ein 100 nF-Folienkondensator eine gute erste Wahl zum Ausprobieren. Sehr viel größer sollten die Kapazitäten jedoch nicht werden, da sonst größere Ströme zum schnellen Laden nötig wären, welche die Pins des Launchpads nicht liefern können.

Experimente mit der Kapazitätsmessung

Zum Ausprobieren ist es praktisch, einen 100 nF-Kondensator mit kurzen Leitungen zwischen P1.4 und P1.5 an das Launchpad anzuschließen und den Fühleranschluss P1.4 sowie GND mit Krokodilklemmenkabel herauszuführen. Daran könnten unterschiedliche „Fühler“ angeklemt und ausprobiert werden, zum Beispiel ein Stück zweiadriges Kabel, zwei Aluminiumfolien unter einem Plastikdeckel, oder auch einmal probeweise ein einzelnes Stück Rohr, dass dann gegen Erde eine sehr kleine Kapazität bildet.

Michael Kalus hat bereits erste Experimente durchgeführt, so dass hier Ergebnisse zu bestaunen sind (Abbildungen 3 und 4).

Aus dieser einfachen Kapazitätsmessung lassen sich leicht interessante Kombinationen bilden — beispielsweise kann mit zwei von diesen Fühlern bereits eine einfache Positionserkennung aufgebaut werden ! Hier lohnt es sich,

Quelltext

```

1  \ Der Quelltext ist verfasst für mecrisp für das TI MSP430 Launchpad.
2
3  \ Aufbau:
4  \ P1.4 und P1.5 tragen den Messkondensator,
5  \ P1.4 ist mit der einen Sensorfläche verbunden,
6  \ die andere Sensorfläche liegt an GND.
7
8  compiletoflash
9
10 16 constant Fuehler    \ o--+-----
11                        \   |
12                        \  +|          +|
13                        \   === Cm     === Cf
14                        \  -|          -|
15                        \   |
16 32 constant MessC     \ o---          GND
17

```

der Phantasie freien Lauf zu lassen, Anwendungen gibt es genug — beispielsweise die Messung des Füllstandes in Trinkgläsern, siehe Link.

www.merl.com/papers/docs/TR2002-21.pdf

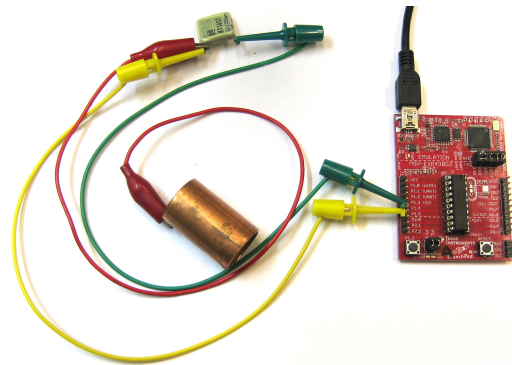


Abbildung 3: Experiment „mika“: Aufbau eines kapazitiven Fühlers — mal eben so — am LaunchPad. Das Stück Kupferrohr wird mit der Hand berührt, ist der Sensor.

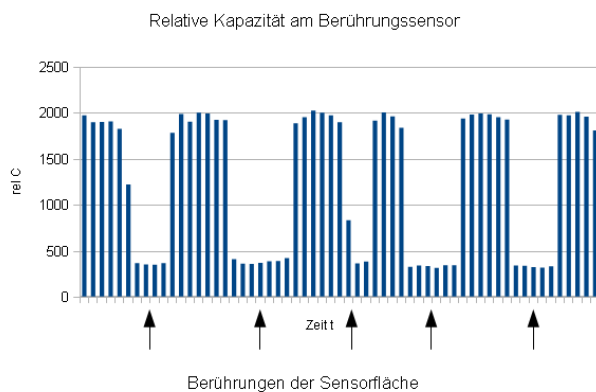


Abbildung 4: Die Messwerte der Kapazität aus dem Experiment „mika“ wurden in ein Tabellenkalkulationsprogramm übertragen und graphisch dargestellt..

Kapazitätsmessung und kapazitive Fühler

```
18 \ Dabei ist es notwendig, dass Cm >> Cf.
19 \ Ein Kondensator Cm ~ 100nF ist ein guter Anfang.
20
21 : Kapazitaet ( -- Kapazitaetswert )
22
23 0 \ Durchlaufzaehler. Am Anfang ist noch kein Zyklus geschehen.
24
25 \ Initialisierung
26 Fuehler MessC or P1OUT cbic! \ Vorbereitung, Entladen. F low, M low.
27 Fuehler MessC or P1DIR cbis!
28
29 begin          \ Erster Einlauf: Übergangszustand. F (low), M in
30   MessC P1DIR cbic! \ Später:      Übergangszustand. F (in), M in
31
32 \ Erster Schritt:
33 Fuehler P1OUT cbis! \ Laden und Messen. F high, M (in)
34 Fuehler P1DIR cbis!
35
36 MessC P1IN cbit@ while \ Falls MessC Low, Ende.
37   1+ \ Ein Zyklus mehr...
38
39 \ Zweiter Schritt:
40 Fuehler P1DIR cbic! \ Übergangszustand. F in, M (in)
41 MessC   P1DIR cbis! \ Mischzustand. F (in), M low
42                                     \ MessC ist in P1OUT noch von Schritt (1) low.
43 repeat
44
45 Fuehler MessC or P1OUT cbic! \ Stelle Grundzustand wie bei der Initialisierung
46 Fuehler MessC or P1DIR cbis! \ wieder her. Beide entladen: F low, M low.
47
48 ; \ Kapazitaet
49
50 compileoram
51
52 : messen ( -- ) begin cr kapazitaet . 1000 ms ?key until ;
```

...Fortsetzung der Meldung zum Forth Day 2013



Abbildung 1: Gruppenfoto vom SVFIG-Meeting

net2o — das Internet neu erfinden, Teil 3: Signaturen

Bernd Paysan



Ein Ding fehlte im Teil 2 noch: Signaturen. Die reiche ich nach, und liefere ein paar Erklärungen, wie das denn so funktioniert. Und wie man das gleiche Schlüsselpaar sowohl für Signaturen als auch für den Diffie-Hellman-Exchange nutzen kann.

Wozu signieren?

Den Verbindungsaufbau, haben wir ja beim letzten Mal [1] gesehen, kriegt man ohne Signaturen hin. Auch die Authentizität — ja, das ist zwar symmetrisch, aber wenn Alice weiß, dass sie die Message selbst nicht geschrieben hat, muss es Bob sein. Für Bob ist diese Situation am besten, denn er kann sich im Zweifelsfall immer damit herausreden (also z.B. beim Auffinden kompromittierender Liebesbriefe, die von der eifersüchtigen Eve entdeckt werden), dass Alice diese selbst geschrieben hätte.

„Unabstreitbarkeit“ nennt man dieses Feature von digitalen Signaturen, das Fehlen derselben hilft dann bei der Abstreitbarkeit. Wann also will ich etwas Unabstreitbares haben? Oder einen Beweis für den Besitz des geheimen Schlüssels, denn mehr ist das ja nicht?

Distributed Hash Table

Ein P2P-Netz braucht eine verteilte Datenbank, um Dinge zu speichern. Dinge wie „wohin sende ich Messages für Bob?“ oder „wer hat dieses oder jenes Dokument?“. Das packt man in eine Hash-Table, die die Hashes von Dokumenten und öffentlichen Schlüssel enthalten (die Schlüssel selbst nochmal zu hashen bringt allerdings wenig).

Nun kann ja rein theoretisch jeder Beliebigen in so eine Hash-Table eintragen oder aus ihr löschen. Das wollen wir eher nicht. Es muss also eine Möglichkeit geben, solche Eintragungen zu verifizieren. Bei der „wer ist wo“-Frage ist klar, wer da unterschreiben muss: Der, der seine Adresse(n) angibt. Beim Eintragen selbst kann der empfangende Server das mit der Authentizitätsprüfung verbinden, das reicht — der Server weiß, wer ihn von wo aus anspricht. Aber diese Server replizieren ihre Daten, weshalb das Ganze ja „distributed“ heißt. Der nächste Server kann zwar sehen, woher diese Information kommt, aber nicht verifizieren, ob sie korrekt ist.

Und genau hier wird's Zeit für eine digitale Signatur. Die erlaubt es nämlich, derartige Prüfsummen weiterzuleiten.

Ed25519 von Dan Bernstein

Etwas Mathematik

Die Curve25519 von DAN BERNSTEIN hat inzwischen ein kleines Geschwister bekommen, nämlich eine Kurve in

Edwards-Form. Diese Form hat HAROLD M. EDWARDS 2007 entdeckt. Die Kurve ist vierfach symmetrisch, und sieht je nach Parameter aus wie in Abbildung 1.

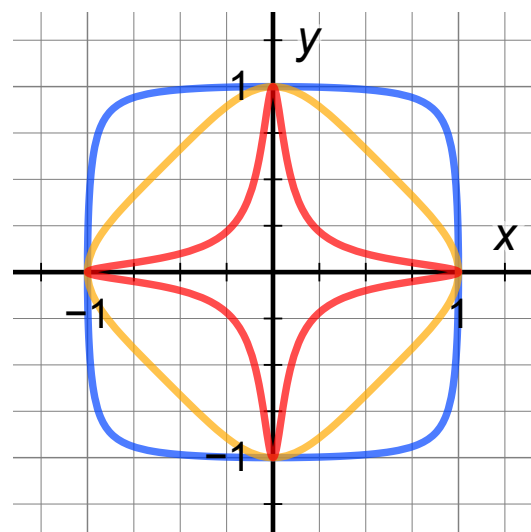


Abbildung 1: Edwards-Kurve der Gleichung $x^2 + y^2 = 1 - d \cdot x^2 \cdot y^2$ über die reellen Zahlen für $d = 300$ (rot), $d = \sqrt{8}$ (gelb) und $d = -0.9$ (blau) [2]

Zumindest über die reellen Zahlen sieht die Kurve so aus... aber wenn man Kryptographie macht, rechnet man nicht mit reellen Zahlen. Das dient also nur der Vorstellung. Über diese Kurve definiert man eine Additions-Operation, die der Addition zweier Zeiger auf einem Kreis (also Winkeladdition) formal entspricht. Wenn wir einen Kreis vom Radius 1 hätten, wäre $d = 0$, also $x^2 + y^2 = 1$. Zwei Punkte auf dem Kreis mit den Winkeln α_1 und α_2 hätten also die Koordinaten $x_1, y_1 = \sin \alpha_1, \cos \alpha_1$ und $x_2, y_2 = \sin \alpha_2, \cos \alpha_2$. Um die beiden Winkel zu addieren, müssen wir nur in die verstaubte Formelsammlung aus dem Abitur gucken (oder in Wikipedia), und sehen:

$$\sin(\alpha_1 + \alpha_2) = \sin \alpha_1 \cos \alpha_2 + \sin \alpha_2 \cos \alpha_1 = x_1 y_2 + x_2 y_1$$

$$\cos(\alpha_1 + \alpha_2) = \cos \alpha_1 \cos \alpha_2 - \sin \alpha_1 \sin \alpha_2 = y_1 y_2 - x_1 x_2$$

Auf einer Edwards-Kurve ist die Formel nur etwas anders, schließlich liegen die Punkte mal weiter innen oder weiter außen, abhängig von d :

$$(x_1, y_1) + (x_2, y_2) = \left(\frac{x_1 y_2 + y_1 x_2}{1 + d x_1 x_2 y_1 y_2}, \frac{y_1 y_2 - x_1 x_2}{1 - d x_1 x_2 y_1 y_2} \right)$$

Edwards–Kurven haben hier gegenüber anderen elliptischen Kurven einen Vorteil: Das Gesetz für die Addition hat keine Sonderregelungen, es funktioniert sowohl für das neutrale Element als auch für die Verdopplung einwandfrei. Natürlich kann man bei der Verdopplung „Abkürzungen“ nutzen, weil Terme doppelt vorkommen, aber man muss nicht.

Wenn wir eine Addition haben, mit neutralem Element (dem Winkel 0, also dem Punkt $(0, 1)$), dann gibt es auch ein Skalarprodukt (wiederholte Addition), also die Multiplikation mit einer natürlichen Zahl. Dieses Skalarprodukt ist die Basisoperation für die Kryptographie mit elliptischen Kurven. Allerdings nicht über Kurven, die reelle Zahlen nutzen, sondern über Kurven in einem Restklassenring. Wir haben also (sehr lange) Integer, die modulo einer großen Primzahl genommen werden, in diesem Fall ist das $2^{255} - 19$, die Zahl ist auch Namensgeber der Kurve. Wenn man so nah an einer Zweierpotenz ist, lässt sich der Rest sehr viel einfacher berechnen.

Die Punkte auf der Kurve haben ebenfalls einen Zyklus, der etwas kürzer ist als die der Koordinate, und zwar $l = 2^{252} + 2774231777372353535851937790883648493$. Auch hier hilft die Nähe an einer Zweierpotenz, den Rest schneller auszurechnen — und auch diese Zahl ist eine Primzahl.

Schlüsselpaare

Als geheimen Schlüssel wählen wir eine zufällige Zahl $[sk] \in \mathbb{Z}_l$, wobei es da völlig reicht, wenn man z.B. dafür sorgt, dass sie kleiner als 2^{252} ist, aber nicht zu viel kleiner (das oberste Bit sollte gesetzt sein). Unser öffentlicher Schlüssel ist dann eine Skalarmultiplikation vom Basis-Punkt der Kurve mit diesem geheimen Schlüssel. Zur Nomenklatur: Punkte auf der Kurve sind Variablen ohne Kennzeichnungen, Skalare in eckigen Klammern:

$$pk = [sk] * base$$

Diffie–Hellman–Schlüsselaustausch

Wie beim letzten Mal erklärt, multipliziert man beim Schlüsselaustausch einfach seinen geheimen Schlüssel mit dem öffentlichen Schlüssel des anderen, was in beiden Fällen den gleichen Punkt auf der Kurve gibt, weil

$$[sk_2] * pk_1 = [sk_2] * [sk_1] * base = [sk_1] * pk_2$$

ist. Den öffentlichen Schlüssel codiert DAN BERNSTEIN als x -Koordinate, also ebenfalls in 32 Bytes, wie auch den privaten Schlüssel. Das ist schön kompakt, man muss den öffentlichen Schlüssel dafür beim Empfangen expandieren, also die zugehörige y -Koordinate ausrechnen. Inzwischen nutze ich auch für den Schlüsselaustausch die Edwards–Form der Kurve; das ist genauso sicher, aber etwas schneller (wegen Optimierungen, die nur in dieser Form möglich sind). Vorteilhaft ist hier, dass man den gleichen Schlüssel sowohl für Signaturen als auch für Verschlüsselung verwenden kann, und damit der ganze Schlüssel sehr kompakt untergebracht werden kann — also auch z.B. einfach auf eine Visitenkarte gedruckt.

Signatur

Um eine Signatur zu berechnen, braucht man den Hash der signierten Daten. Ich nutze auch hier Keccak, und hashe zunächst die Nachricht. Für die Signatur wird der komplette State *state* genutzt, und zwar zweimal, denn es reicht nicht einfach, nur den Hash durch die Gegend zu schicken. Zunächst braucht man für so eine Signatur nämlich eine unterschiedliche pseudo-zufällige Zahl pro Message, die außer dem Signierer keiner kennen darf. Damit wir nicht unsere Zufallsquelle strapazieren müssen (die langsam oder schlecht sein könnte), schlägt DAN BERNSTEIN vor, diese Zufallszahl aus dem Hash über die Message und den privaten Schlüssel zu bilden. Ich absorbieren also den privaten Schlüssel in den Hash-State: $k := \text{hash512}(\text{absorb}(sk, state))$. Das ist eine 64-Byte-Zahl, die reduziert wird in \mathbb{Z}_l . Wir rechnen damit einen Punkt r auf der Kurve aus, also $r := [k] * base$.

Diesen Punkt komprimieren wir auf 32 Bytes (nur die x -Koordinate), hängen unseren öffentlichen Schlüssel dran (macht 64 Bytes), absorbieren das wieder in den übergebenen State *state*, und bekommen so die Zahl $z := \text{hash512}(\text{absorb}(r||pk, state))$. Daraus können wir den zweiten Teil der Signatur berechnen, das Skalar $[s] := [z * sk + k]$. Beide Zahlen r, s zusammen ergeben die Signatur (wo nötig, muss noch der Public Key angehängt werden, damit man weiß, von wem die Signatur ist).

Zur Verifikation berechnet der Empfänger z wie oben, und dann vergleicht er

$$r \equiv [s] * base - [z] * pk$$

$$= [z * sk] * base + [k] * base - [z] * [sk] * base = [k] * base$$

Wie man sieht, muss auf der rechten Seite das Gleiche übrig bleiben wie auf der linken steht — dann ist die Signatur gültig. Das Signieren einer Message ist schneller als das Verifizieren, da man für das Signieren nur eine komplexe Operation braucht, nämlich die Skalarmultiplikation mit der *base*. Die kann man mit einer Multiplikationstabelle gut beschleunigen. Trotzdem ist Ed25519 so schnell, dass man auf einem Core i7 mit 3GHz mit einem Thread 14000 einzelne Signaturen in der Sekunde verifizieren kann (Batch-Verifikation geht noch schneller).

Die Implementierung der Mathematik ist in einer schnellen C-Library ausgelagert, die man bei Github herunterladen kann (geforkt von mir, damit der Diffie–Hellman–Schlüsselaustausch auch geht) [3].

Referenzen

- [1] BERND PAYSAN, *net2o — Das Internet neu erfinden, Teil 2*, VD 2013/03
- [2] Wikipedia, *Edwards Curve*, http://en.wikipedia.org/wiki/Edwards_curve
- [3] BERND PAYSAN, *ed25519-donna fork*, `git clone https://github.com/forth42/ed25519-donna.git -b bernd`



Listings

```

1  \ Interface to the ed25519 primitives from donna
2  \ The high level stuff is all in Forth
3
4  \ dummy load for Android
5  [IFDEF] android
6    s" /data/data/gnu.gforth/lib/libed25519-prims.so"
7    open-lib drop
8  [THEN]
9
10 c-library ed25519_donna
11   "ed25519-prims" add-lib
12   \c #include <stdint.h>
13   \c #include <ed25519-prims.h>
14   \c int str32eq(uint64_t* a, uint64_t* b) {
15     \c   uint64_t diff=((a[0]^b[0])|(a[1]^b[1])|
16       \c     (a[2]^b[2])|(a[3]^b[3]));
17     \c   return -(diff==0);
18   \c }
19
20 c-function raw>sc25519 expand_raw256_modm
21   a a -- void ( sc char[32] -- )
22 c-function nb>sc25519 expand256_modm
23   a a n -- void ( sc char[64] -- )
24 c-function sc25519>32b contract256_modm
25   a a -- void ( char[32] sc -- )
26 c-function sc25519* mul256_modm
27   a a a -- void ( r x y -- )
28 c-function sc25519+ add256_modm
29   a a a -- void ( r x y -- )
30
31 c-function ge25519*base ge25519_scalarmult_base
32   a a -- void ( ger x -- )
33 c-function ge25519-pack ge25519_pack
34   a a -- void ( r ger -- )
35 c-function ge25519-unpack-
36 ge25519_unpack_negative_vartime a a -- n
37   ( r p -- flag )
38 c-function ge25519**
39 ge25519_double_scalarmult_vartime a a a a -- void
40   ( r p s1 s2 -- )
41 c-function ge25519*v
42 ge25519_scalarmult_vartime a a a -- void
43   ( r p s -- )
44 c-function ge25519*
45 ge25519_scalarmult a a a -- void
46   ( r p s -- )
47 c-function 32b= str32eq a a -- n
48   ( addr1 addr2 -- flag )
49 end-c-library
50
51 : 32b>sc25519 32 nb>sc25519 ;
52 : 64b>sc25519 64 nb>sc25519 ;
53
54 $20 Constant KEYBYTES
55
56 $40 12 * $60 + $40 + 200 + $10 + Constant edbuf#
57
58 here edbuf# allot $F + -$10 and \ align for SSE
59
60 dup Constant sct0 $40 +
61 dup Constant sct1 $40 +
62 dup Constant sct2 $40 +
63 dup Constant sct3 $40 + \ can be between $20 and $30
64 dup Constant get0 $100 +
65 dup Constant get1 $100 + \ can be between $80 and $C0
66 dup Constant sigbuf $60 +
67 dup Constant hashtmp $40 +
68 Constant keccaktmp
69
70 : gen-sk ( sk -- ) >r
71   \G generate a secret key with the
72
73   \G right bits set and cleared
74   $20 rng$ r@ swap move r@ c@ $F8 and r@ c!
75   r> $1F + dup c@ $7F and $40 or swap c! ;
76
77 : sk>pk ( sk pk -- )
78   \G convert a secret key to a public key
79   sct0 rot raw>sc25519
80   get0 sct0 ge25519*base
81   get0 ge25519-pack ;
82
83 : ed-keypair ( sk pk -- )
84   \G generate a keypair
85   over gen-sk sk>pk ;
86
87 : >hash ( addr u -- )
88   \G absorb a short string, perform a hash round
89   \G and output 64 bytes to hashtmp
90   >keccak keccak* hashtmp $40 keccak ;
91
92 : ed-sign { sk pk -- sig u }
93   \G sign a message: the keccak state
94   \G contains the hash of the message.
95   @keccak keccaktmp keccak# move
96   \ we need this twice - move away
97   sk $20 >hash
98   \ gen "random number" from secret to hashtmp
99   keccaktmp @keccak keccak# move \ restore state
100  sct3 hashtmp 64b>sc25519
101  get0 sct3 ge25519*base \ sct3 is k
102  sigbuf get0 ge25519-pack \ sct0 is r=k*base
103  pk sigbuf $20 + $20 move
104  sigbuf $40 >hash \ z=hash(r+pk+message)
105  sct1 hashtmp 64b>sc25519 \ sct1 is z
106  sct2 sk raw>sc25519 \ sct2 is sk
107  sct1 sct1 sct2 sc25519*
108  sct1 sct1 sct3 sc25519+ \ s=z*sk+k
109  sigbuf $20 + sct1 sc25519>32b
110  sigbuf $40 ; \ r,s
111
112 : ed-check? { sig pk -- flag }
113   \G check a message: the keccak state
114   \G contains the hash of the message.
115   \G The unpacked pk is in get0, so this
116   \G word can be used for batch checking.
117   sig hashtmp $20 move pk hashtmp $20 + $20 move
118   hashtmp $40 >keccak keccak* hashtmp $40 keccak>
119   \ z=hash(r+pk+message)
120   sct2 hashtmp 64b>sc25519 \ sct2 is z
121   sct3 sig $20 + raw>sc25519 \ sct3 is s
122   get1 get0 sct2 sct3 ge25519** \ base*s-pk*z
123   sigbuf $40 + get1 ge25519-pack \ =r
124   sig sigbuf $40 + 32b= ;
125
126 : ed-verify { sig pk -- flag }
127   \ message digest is in keccak state
128   get0 pk ge25519-unpack-
129   0= IF false EXIT THEN \ bad pubkey
130   sig pk ed-check? ;
131
132 : ed-dh { sk pk -- secret len }
133   get0 pk ge25519-unpack- 0= !!no-ed-key!!
134   sct2 sk raw>sc25519
135   get1 get0 sct2 ge25519*
136   sct0 get1 ge25519-pack
137   sct0 $20 ;
138
139 : ed-dhv { sk pk -- secret len }
140   get0 pk ge25519-unpack- 0= !!no-ed-key!!
141   sct2 sk raw>sc25519
142   get1 get0 sct2 ge25519*v
143   sct0 get1 ge25519-pack
144   sct0 $20 ;

```



EuroForth 2013

Bernd Paysan

Dieses Jahr fand die EuroForth im nicht so bezaubernden, aber genauso teuren Haus Rissen in Hamburg statt, organisiert von KLAUS SCHLEISIEK (der mit dem Preis-Leistungsverhältnis auch nicht zufrieden ist) und ULRICH HOFFMANN. Wir werden uns für das nächste Mal in Deutschland anderswo umsehen müssen. Zumindest die abendlichen Diskussionen sind im Haus Rissen problemlos bis 2 Uhr nachts möglich. Da das Haus Rissen über die Woche Seminare für unsere Streitkräfte anbietet, können wir davon ausgehen, dass alles belauscht wurde, und zwar nicht nur von einem Geheimdienst.

Das ist allerdings fast egal, denn ich habe alle Vorträge aufgezeichnet und online gestellt.

Forth 200x Meeting

Der laufende Standard, der in Oxford ein Datum bekommen hat, und deshalb Forth 2012 heißt, ist in die nächste Revision gegangen: Es wurde weiter an den Details gefeilt, und ein neuer Release Candidate (RC2), also das Ergebnis unseres Meetings, ist am 13. November veröffentlicht worden [1]. Die Review-Periode beträgt auch dieses Mal wieder 3 Monate; im März werden wir uns (wahrscheinlich elektronisch) wieder treffen, um das zu beraten. Der Standard ist aber so gut wie fertig, wenn sich die Änderungen mehr auf Vorwörter und so konzentrieren.

Manche Sachen sind im Standard nicht so schön geworden, wie sie hätten sein sollen, und das beheben wir natürlich ebenso im weiterhin „rollenden Dokument“, von dem am 9. November die Version 13-1 veröffentlicht wurde (die rollenden Dokumente enthalten immer die Änderungen mit Changebars):

Throw IORs Die Rückgabewerte, die Fehler darstellen, sind jetzt immer THROwable. Das war auch in Forth 2012 so beabsichtigt, damit das aber tatsächlich so im Standard steht, muss der Text an ganz anderen Stellen geändert werden; der Datatyp `ior` ist nun schon in Abschnitt 3 definiert, und damit eine feste Beziehung zwischen den Rückgabewerten und THROW hergestellt.

TRAVERSE-WORDLIST Viele Forth-Systeme enthalten eine higher order Function, die Wordlists durchläuft. Das ist jetzt standardisiert.

Xchar IO Wie sich halbe Xchars beim IO verhalten, war eigentlich schon länger klar, der Text hat es aber irgendwie nicht ins Dokument geschafft.

EuroForth Konferenz

Das Programm war dicht gepackt mit Vorträgen, von denen ich hier aus Platzgründen einfach nur die Titel aufzähle. Alle Vorträge kann man auf Video ansehen, und sich bei vielen die Slides herunterladen [2].

Freitag, 27.9.

- 16:00 Anton Ertl “Region-based Memory Allocation”
- 16:45 Nick Nelson “Forth Query Language (FQL)”
- 17:30 Andrew Read “Optimizing memory access design for a 32 bit FORTH processor”
- 18:15 Gerald Wodni “Forth to .NET”

Samstag, 28.9.

- 9:30 Anton Ertl “Standardize Strings Now!”
- 10:15 Ulrich Hoffmann “Forth Literate Programming with IPython notebook”
- 11:30 Willi Stricker “Forth Floating Point Word-Set without Floating Point Stack”
- 12:15 Sergey Baranov “Forth in Russia” Video
12:45 Klaus Schleisiek “Impromptu Talk: Vector multiplication”
- 14:00 Bernd Paysan “Net2o application layer”

Sonntag, 29.9.

- 9:30 Anton Ertl “PAF: A portable Forth Assembler”
- 10:00 Peter Knaggs “Impromptu talk about benchmarks”
- 10:15 Peter Knaggs “Impromptu talk Standard in L^AT_EX”
- 10:30 Klaus Schleisiek “Impromptu talk ‘You broke the Internet’”
- 10:45 Gerald Wodni “Impromptu talk Phaseout”
- 11:00 Stephen Pelc “Impromptu talk Forth20xx”

Referenzen

- [1] FORTH 200X STANDARDS COMMITTEE #9, *Forth 200x draft documents*, <http://www.forth200x.org/documents/>
- [2] *EuroForth 2013 Proceedings*, <http://www.complang.tuwien.ac.at/anton/euroforth/ef13/papers/>



Forth-Gruppen regional

Mannheim **Thomas Prinz**
Tel.: (0 62 71)–28 30 (p)
Ewald Rieger
Tel.: (0 62 39)–92 01 85 (p)
Treffen: jeden 1. Dienstag im Monat
Vereinslokal Segelverein Mannheim
e.V. Flugplatz Mannheim-Neustheim

München **Bernd Paysan**
Tel.: (0 89)–41 15 46 53 (p)
bernd.paysan@gmx.de
Treffen: Jeden 4. Donnerstag im Monat
um 19:00 in der Pizzeria La Capannina,
Weitlstr. 142, 80995 München (Feldmo-
chinger Anger).

Hamburg Küstenforth
Klaus Schleisiek
Tel.: (0 40)–37 50 08 03 (g)
kschleisiek@send.de
Treffen 1 Mal im Quartal
Ort und Zeit nach Vereinbarung
(bitte erfragen)

Mainz Rolf Lauer möchte im Raum Frankfurt,
Mainz, Bad Kreuznach eine lokale Grup-
pe einrichten.
Mail an rowila@t-online.de

Gruppengründungen, Kontakte

Hier könnte Ihre Adresse oder Ihre
Rufnummer stehen — wenn Sie
eine Forthgruppe gründen wollen.

µP-Controller Verleih

Carsten Strotmann
microcontrollerverleih@forth-ev.de
mcv@forth-ev.de

Spezielle Fachgebiete

FORTHchips **Klaus Schleisiek-Kern**
(FRP 1600, RTX, Novix) Tel.: (0 40)–37 50 08 03 (g)

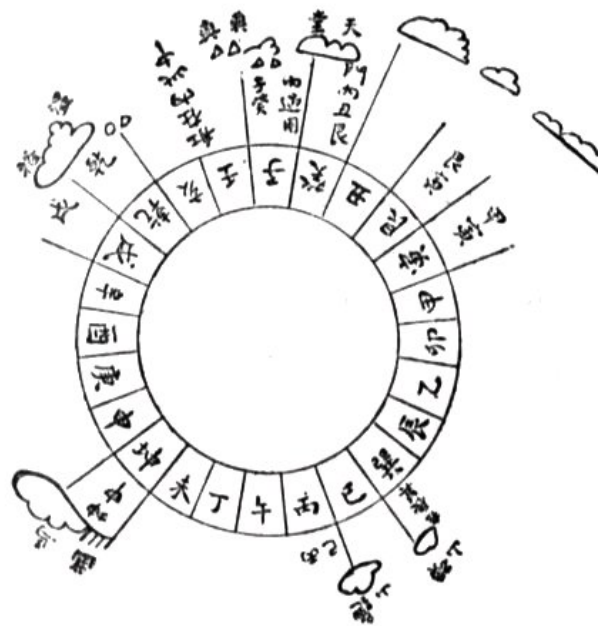
KI, Object Oriented Forth, **Ulrich Hoffmann**
Sicherheitskritische Systeme Tel.: (0 43 51)–71 22 17 (p)
Fax: –71 22 16

Forth-Vertrieb **Ingenieurbüro**
volksFORTH **Klaus Kohl-Schöpe**
ultraFORTH Tel.: (0 82 66)–36 09 862 (p)
RTX / FG / Super8
KK-FORTH

Termine

Donnerstags ab 20:00 Uhr
Forth-Chat IRC #forth-ev

27.–30. März 2014: Forth-Tagung, Bad Vöslau bei Wien
25.–28. Juni 2014: LinuxTag, Berlin



Möchten Sie gerne in Ihrer Umgebung eine lokale Forthgruppe gründen, oder einfach nur regelmäßige Treffen initiieren? Oder können Sie sich vorstellen, ratsuchenden Forthern zu Forth (oder anderen Themen) Hilfestellung zu leisten? Möchten Sie gerne Kontakte knüpfen, die über die VD und das jährliche Mitgliedertreffen hinausgehen? Schreiben Sie einfach der VD — oder rufen Sie an — oder schicken Sie uns eine E-Mail!

Hinweise zu den Angaben nach den Telefonnummern:
Q = Anrufbeantworter
p = privat, außerhalb typischer Arbeitszeiten
g = geschäftlich
Die Adressen des Büros der Forth-Gesellschaft e.V. und der VD finden Sie im Impressum des Heftes.

Einladung zur
Forth-Tagung 2014 vom **27. bis 30. März**
in **Bad Vöslau**

Unterbringung und Tagung im College Garden Hotel in der [Johann-Strauß-Straße 2, 2540 Bad Vöslau](#), Österreich.

Anreise

Bad Vöslau liegt südlich von Wien und ist mit dem Auto über die A2 erreichbar. Das Hotel bietet einen Taxiservice vom Bahnhof, oder auch vom Flughafen.

Anmeldung

Auf <http://tagung.forth-ev.de> finden sich noch viele weitere Informationen, das aktuellste Programm sowie die elektronische Anmeldung.

Programm

Donnerstag

ab 13:00 Frühankommer(-Workshops)

Freitag

vormittags Frühankommer(-Workshops)
nachmittags [Beginn der Tagung](#),
Vorträge und Workshops

Samstag

vormittags Vorträge und Workshops
nachmittags Exkursion

Sonntag

09:00 [Mitgliederversammlung](#)
13:00 Ende der Tagung

